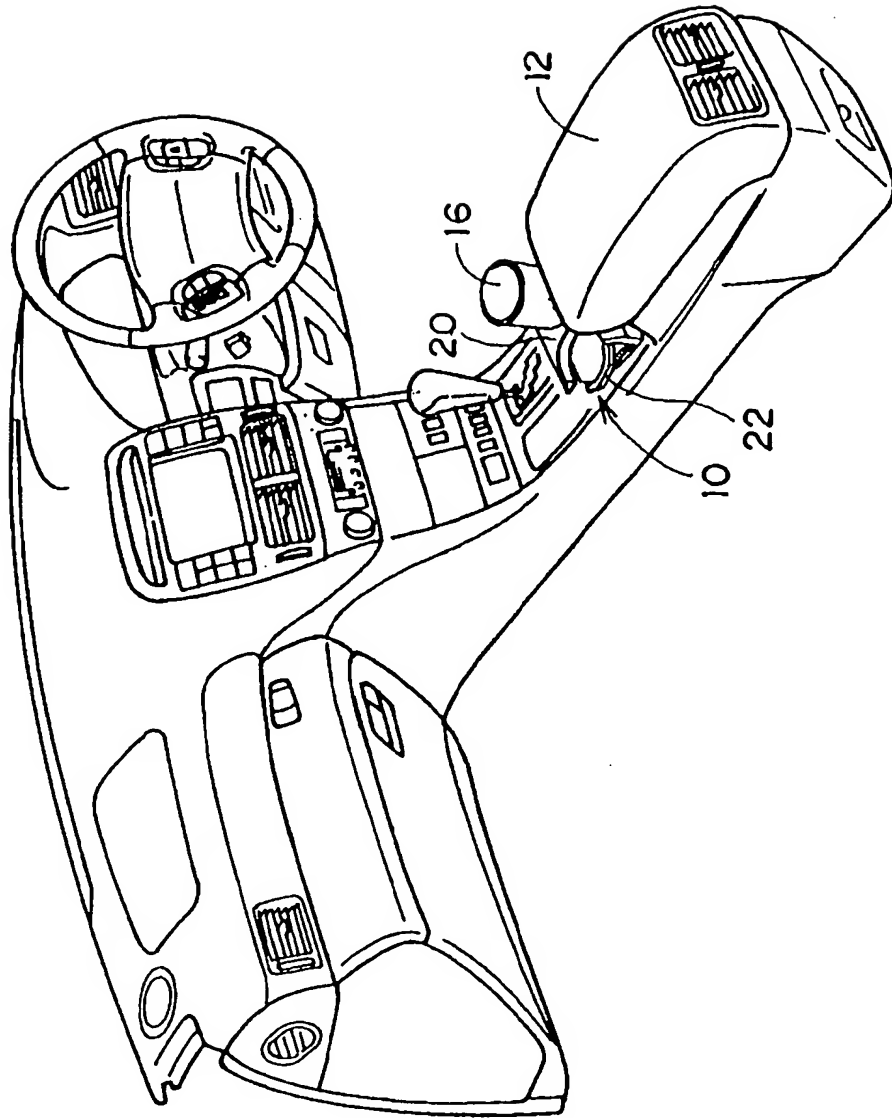


Fig. 1



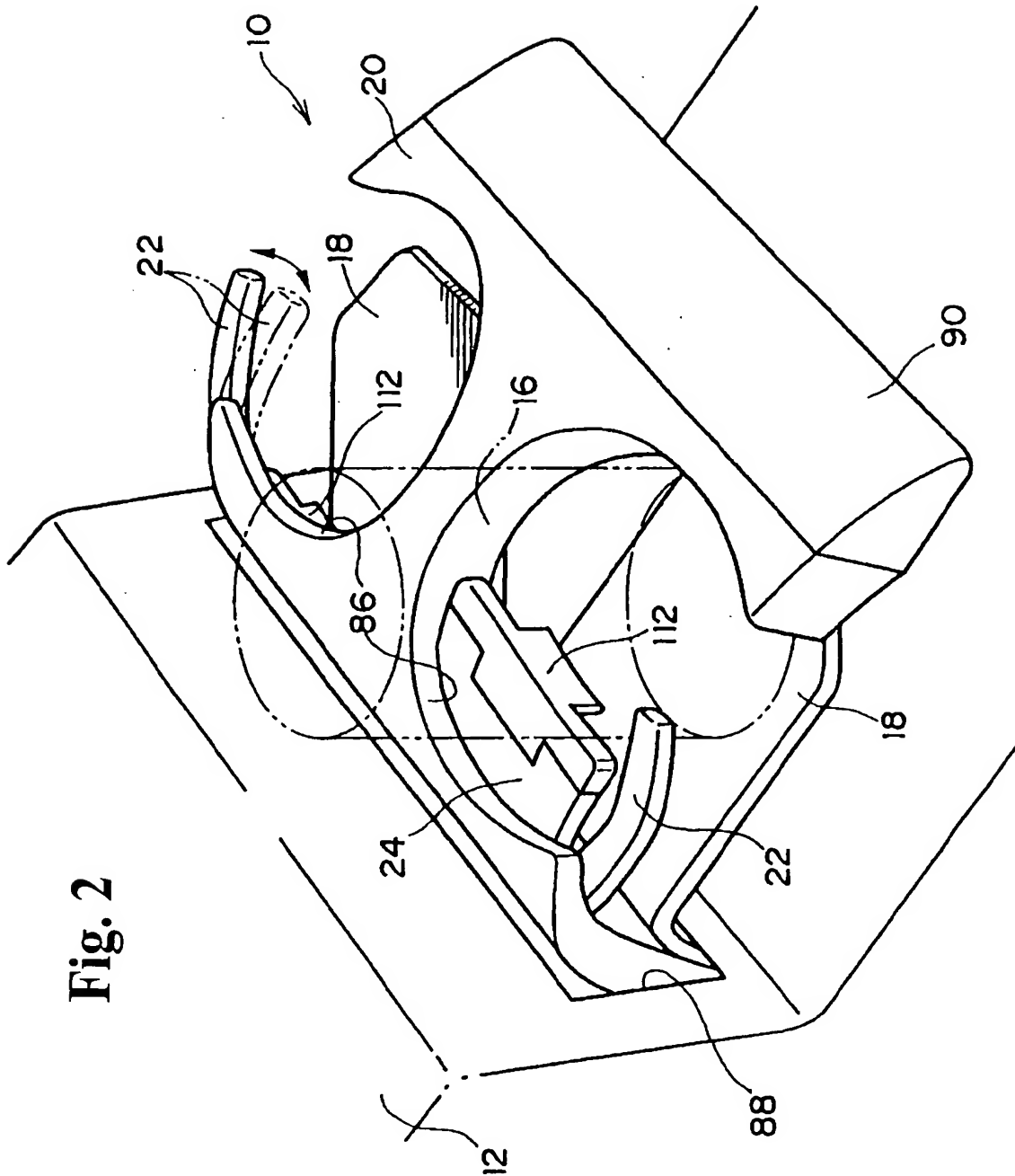


Fig. 2

Fig. 3

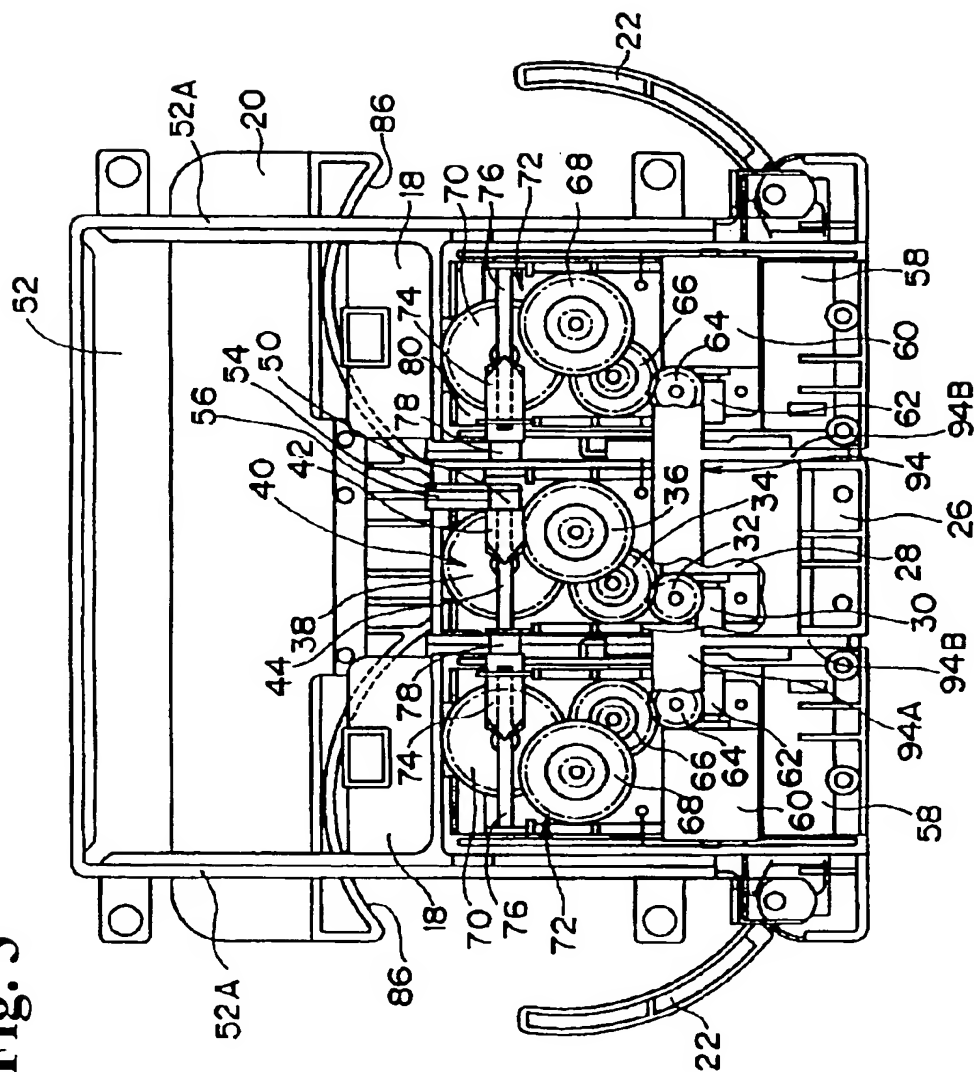


Fig. 4

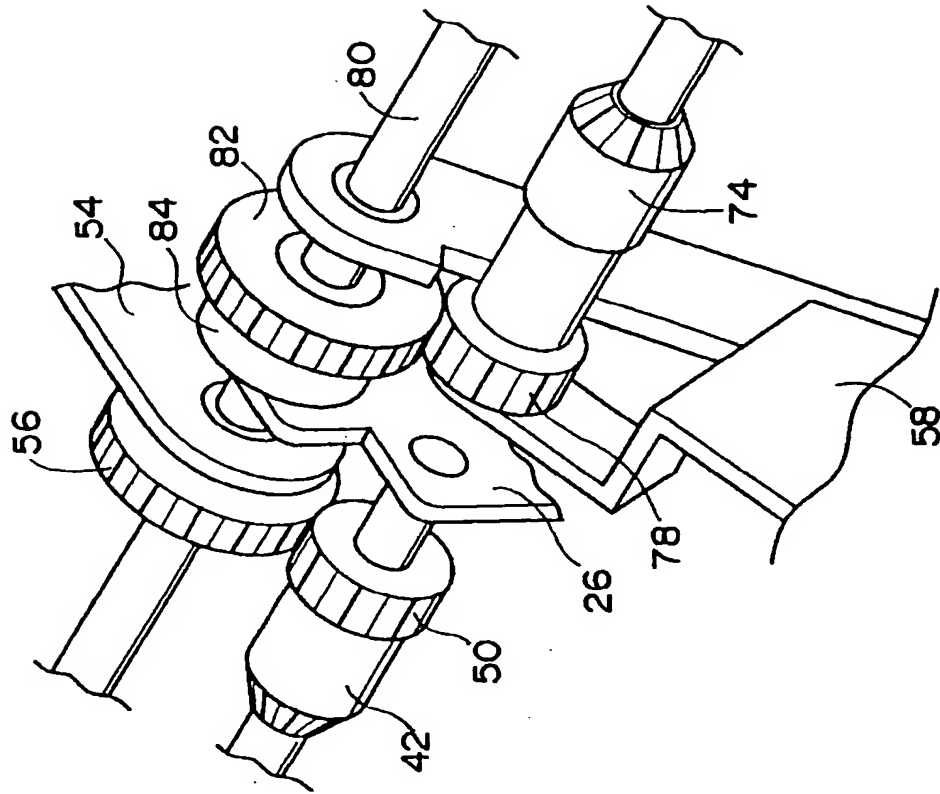
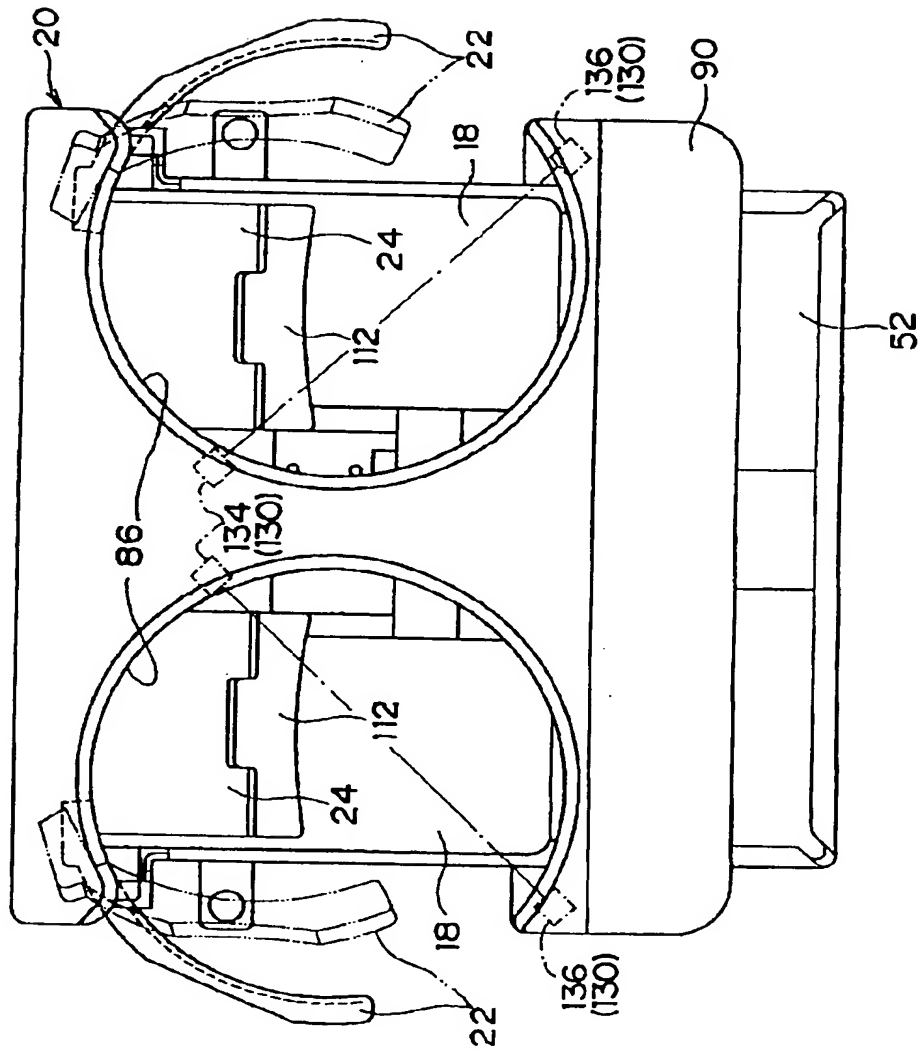


Fig. 5



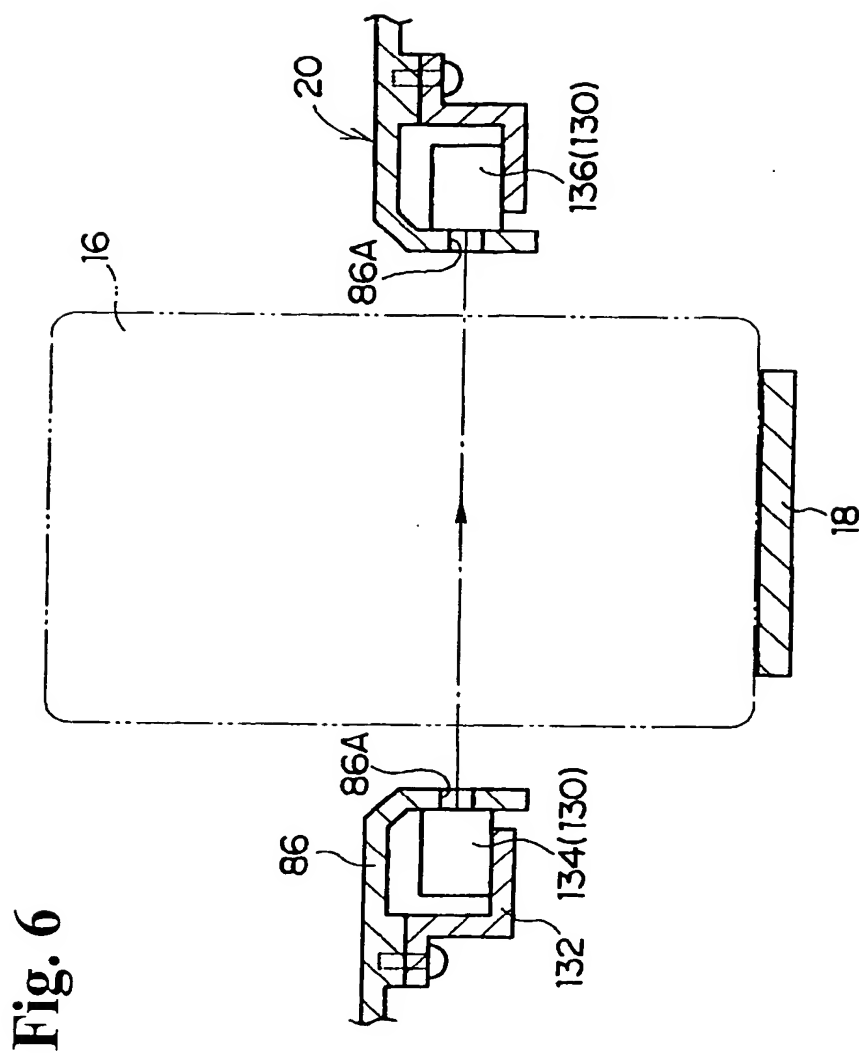


Fig. 6

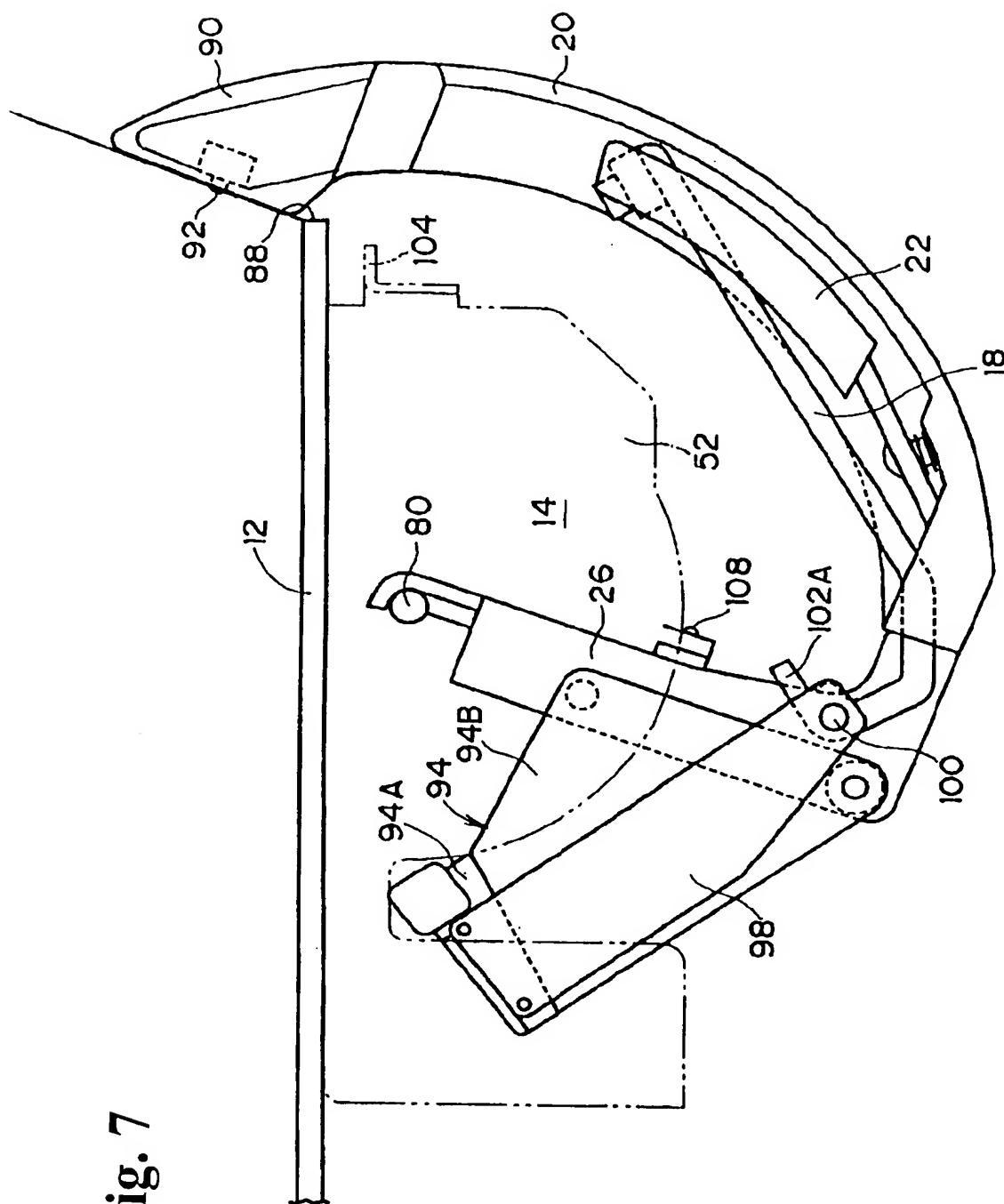
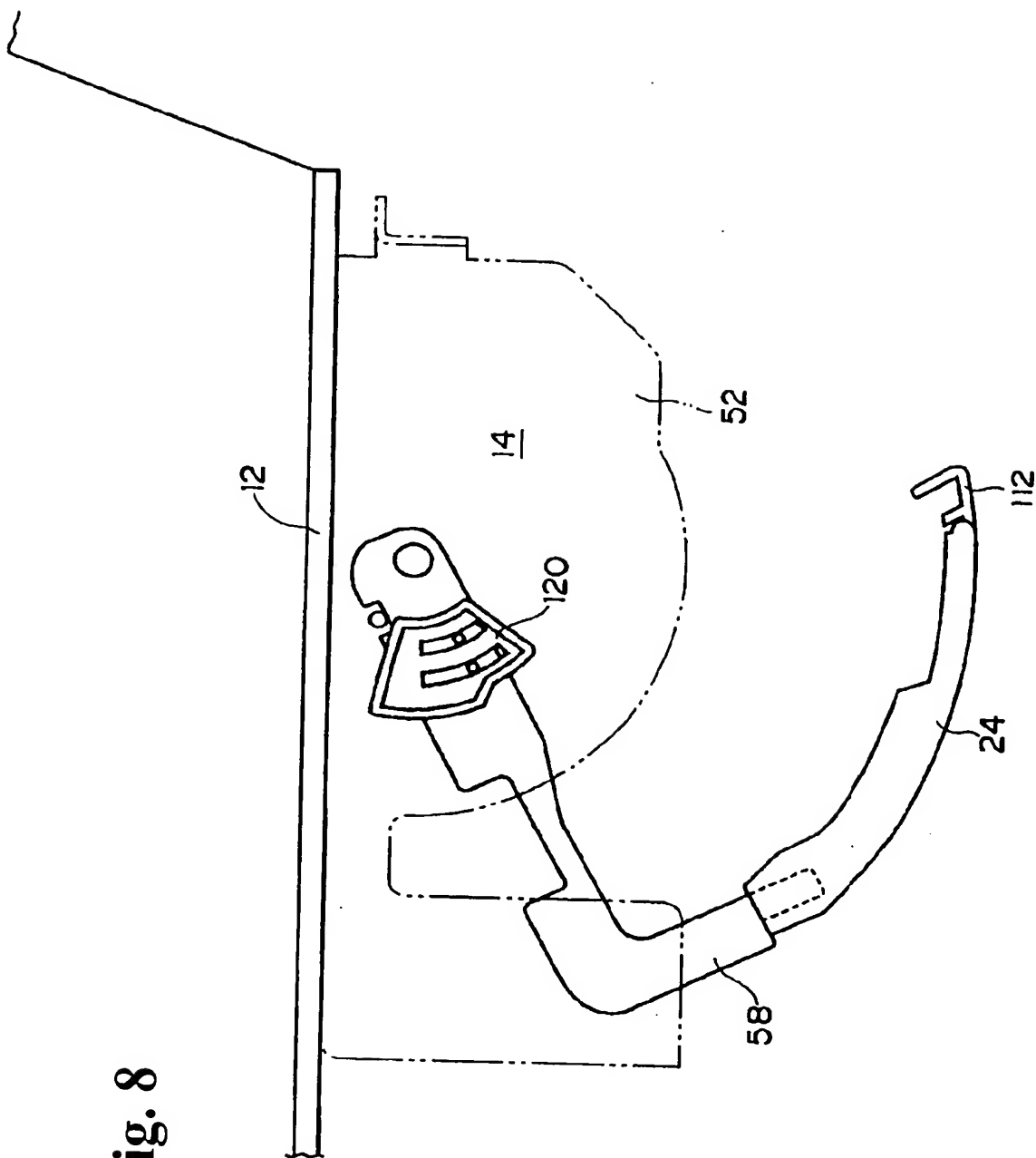


Fig. 7

Fig. 8





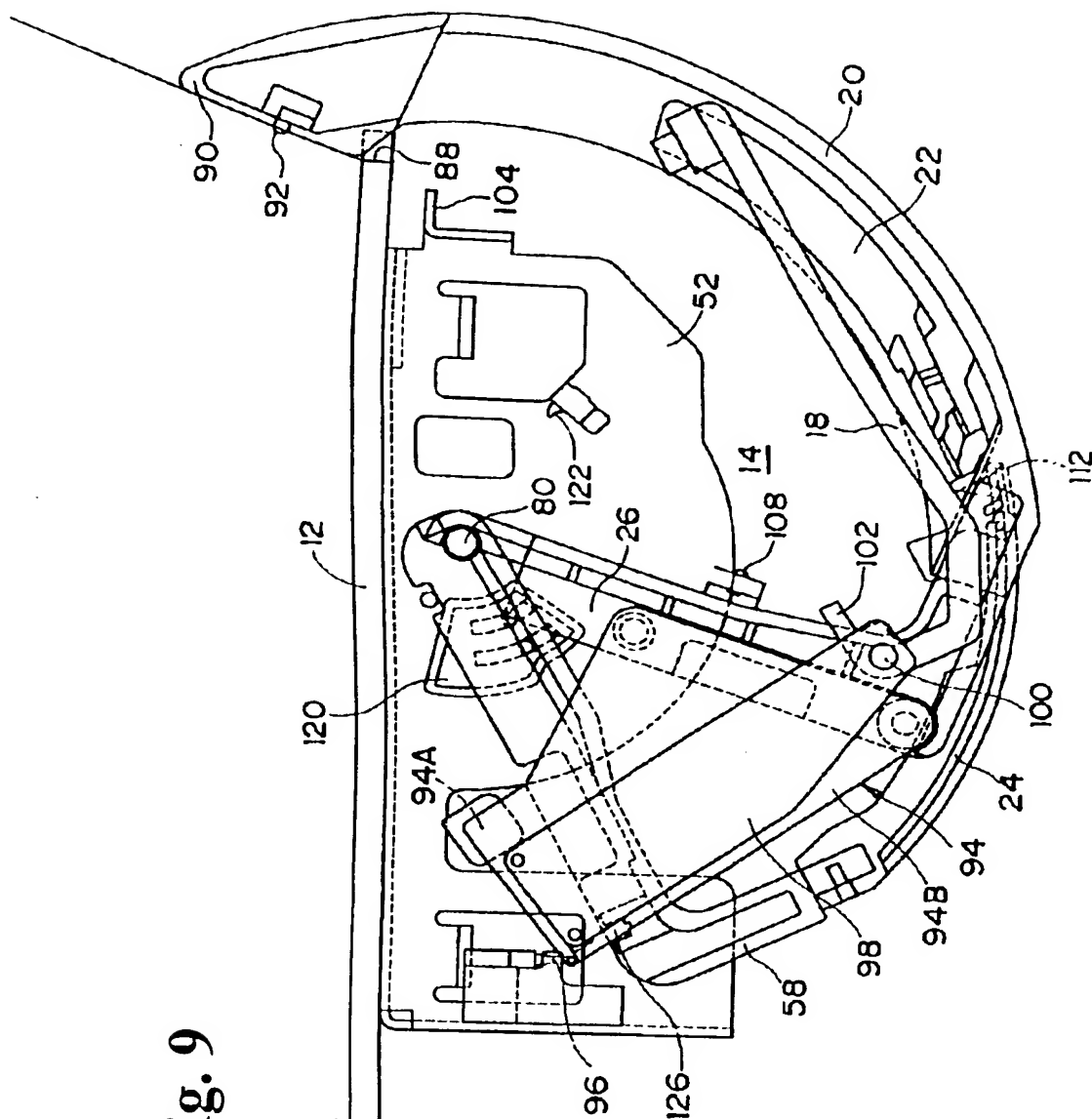


Fig. 9

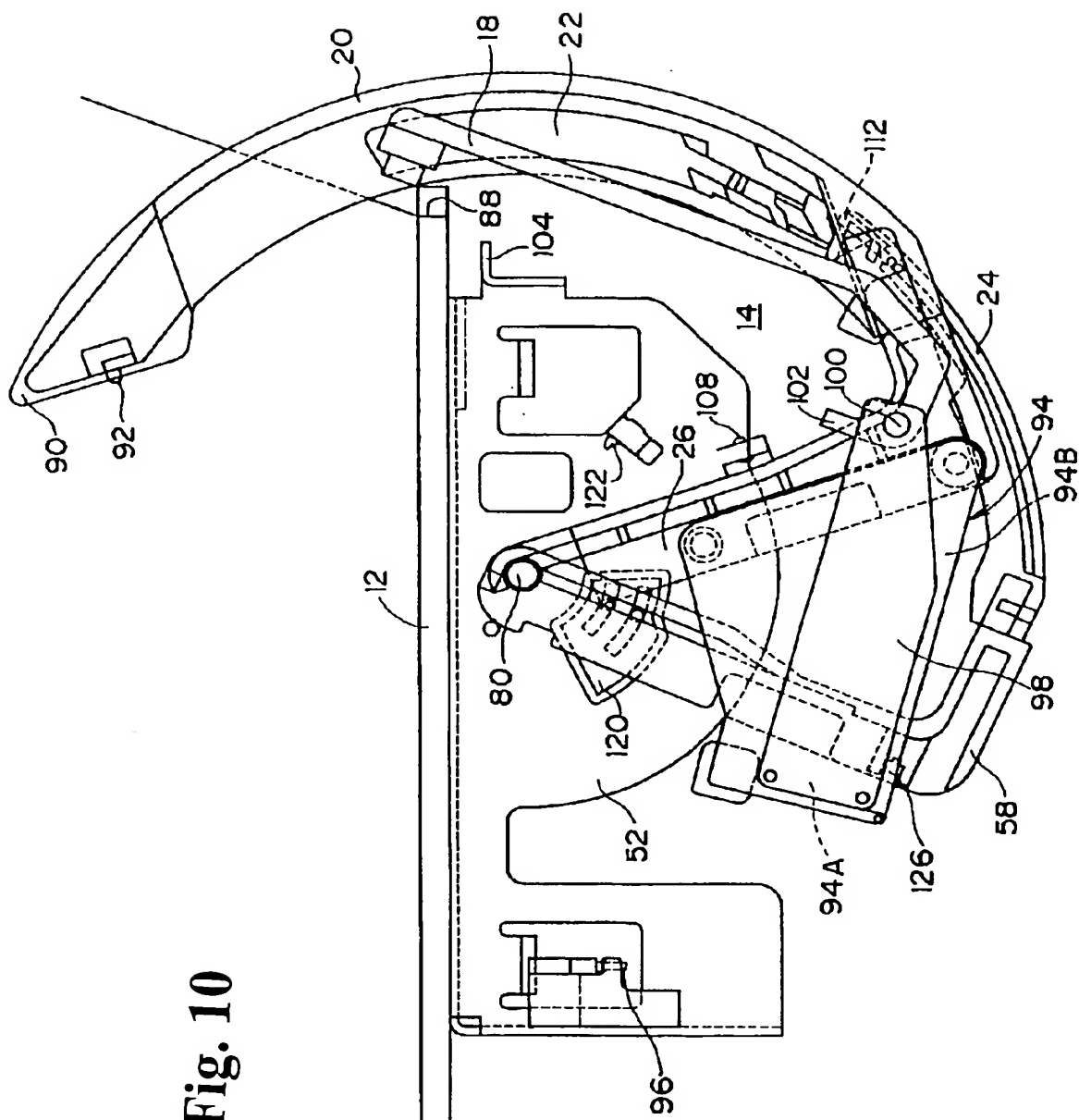


Fig. 10

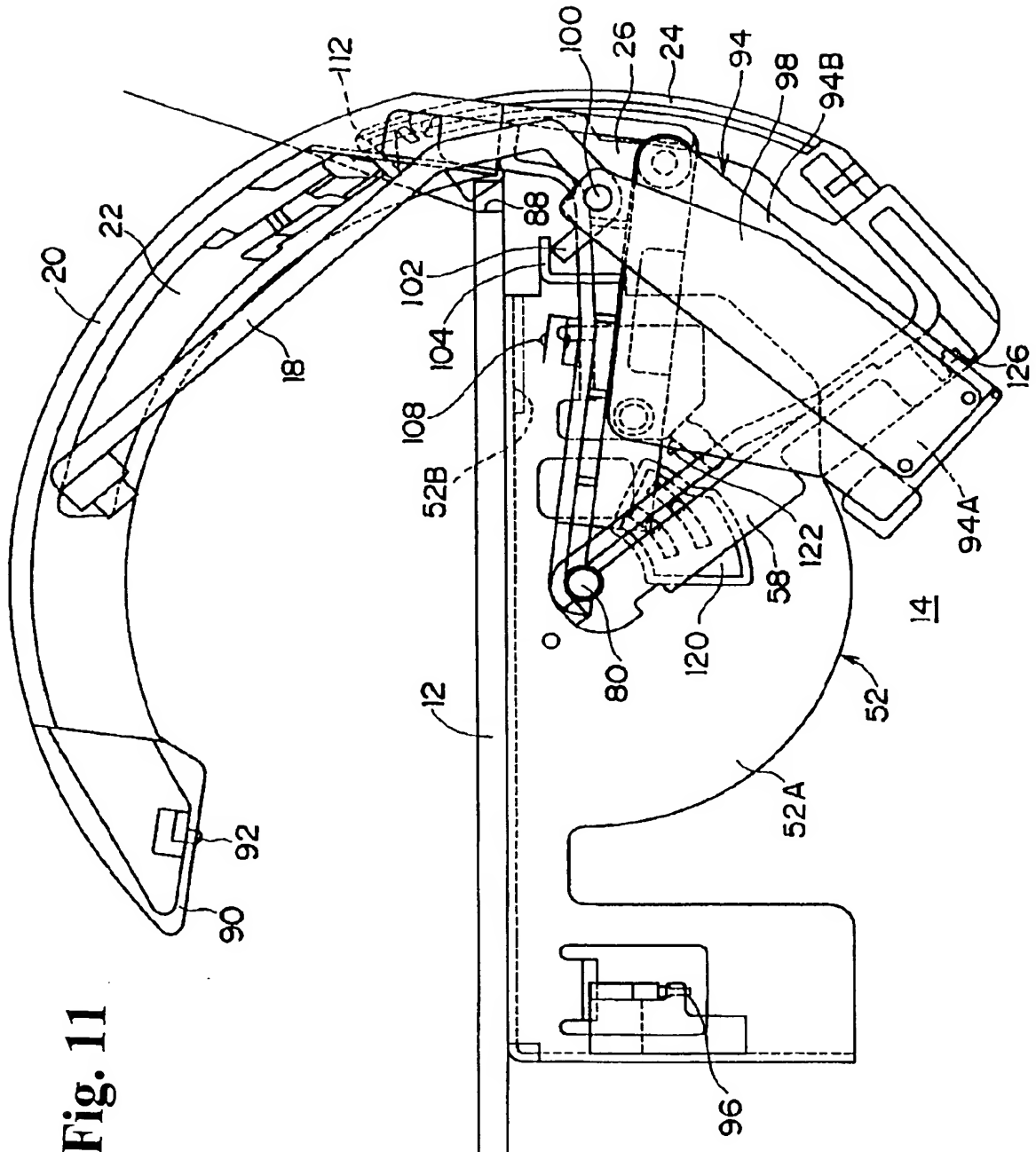


Fig. 11

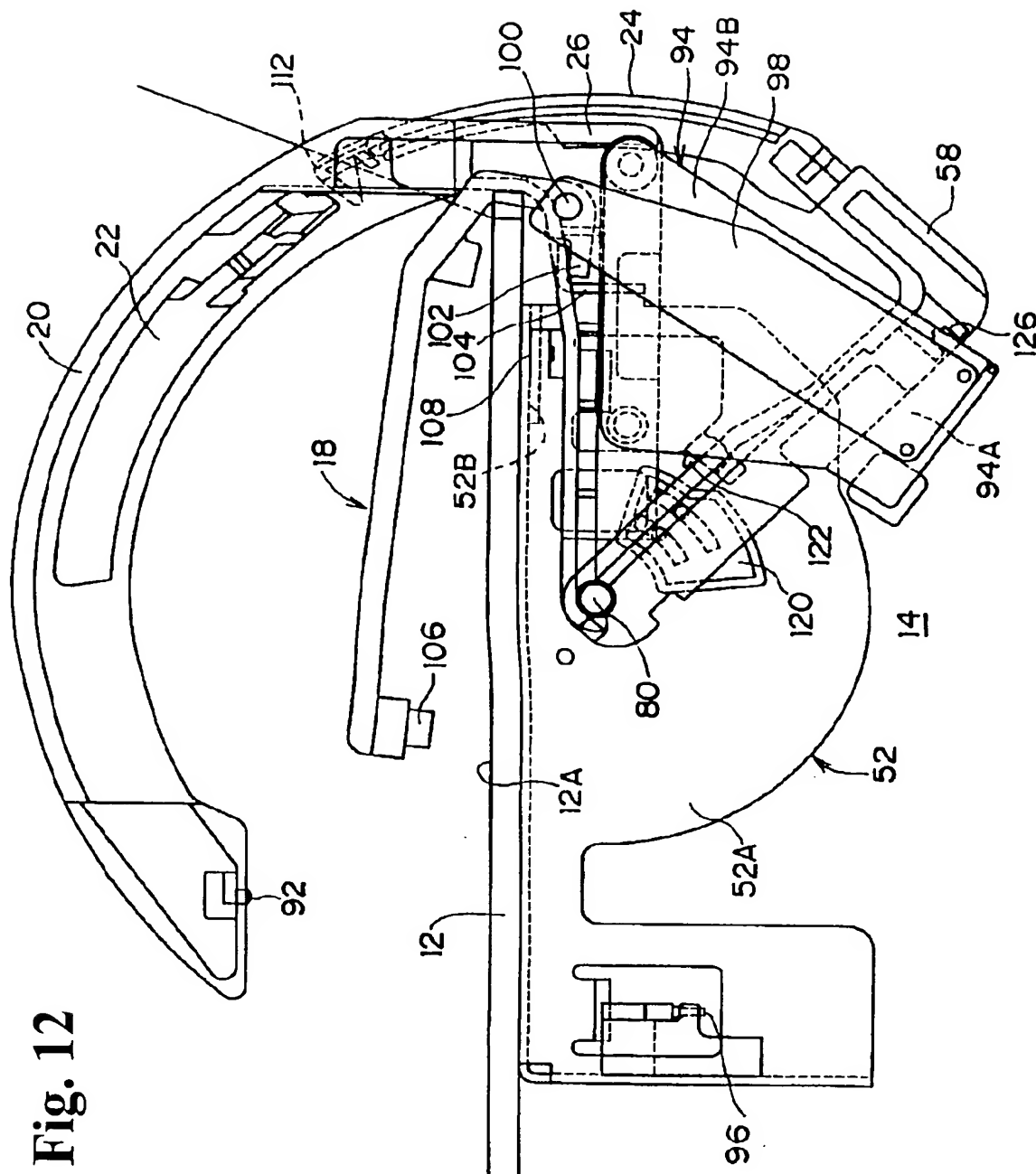
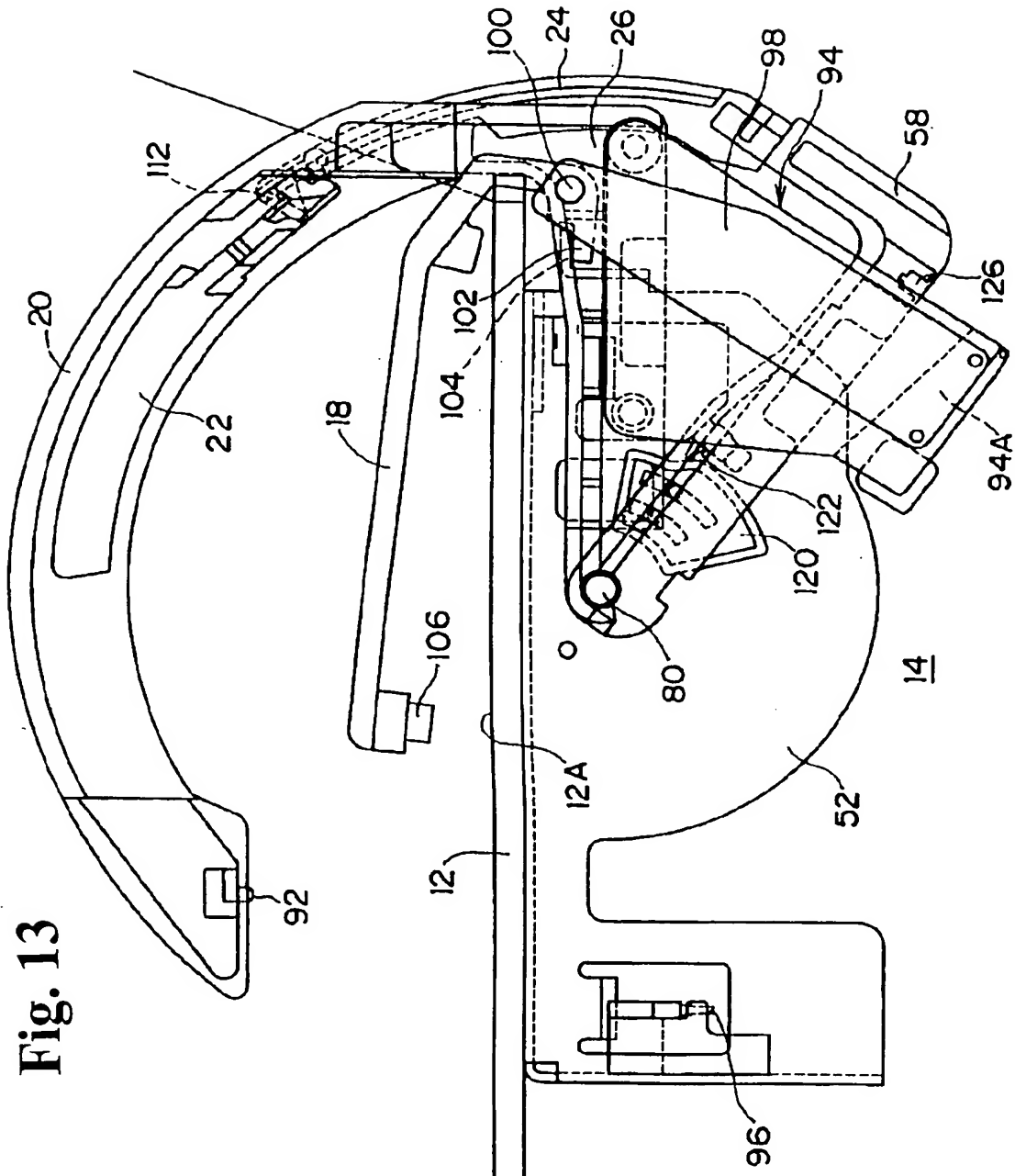
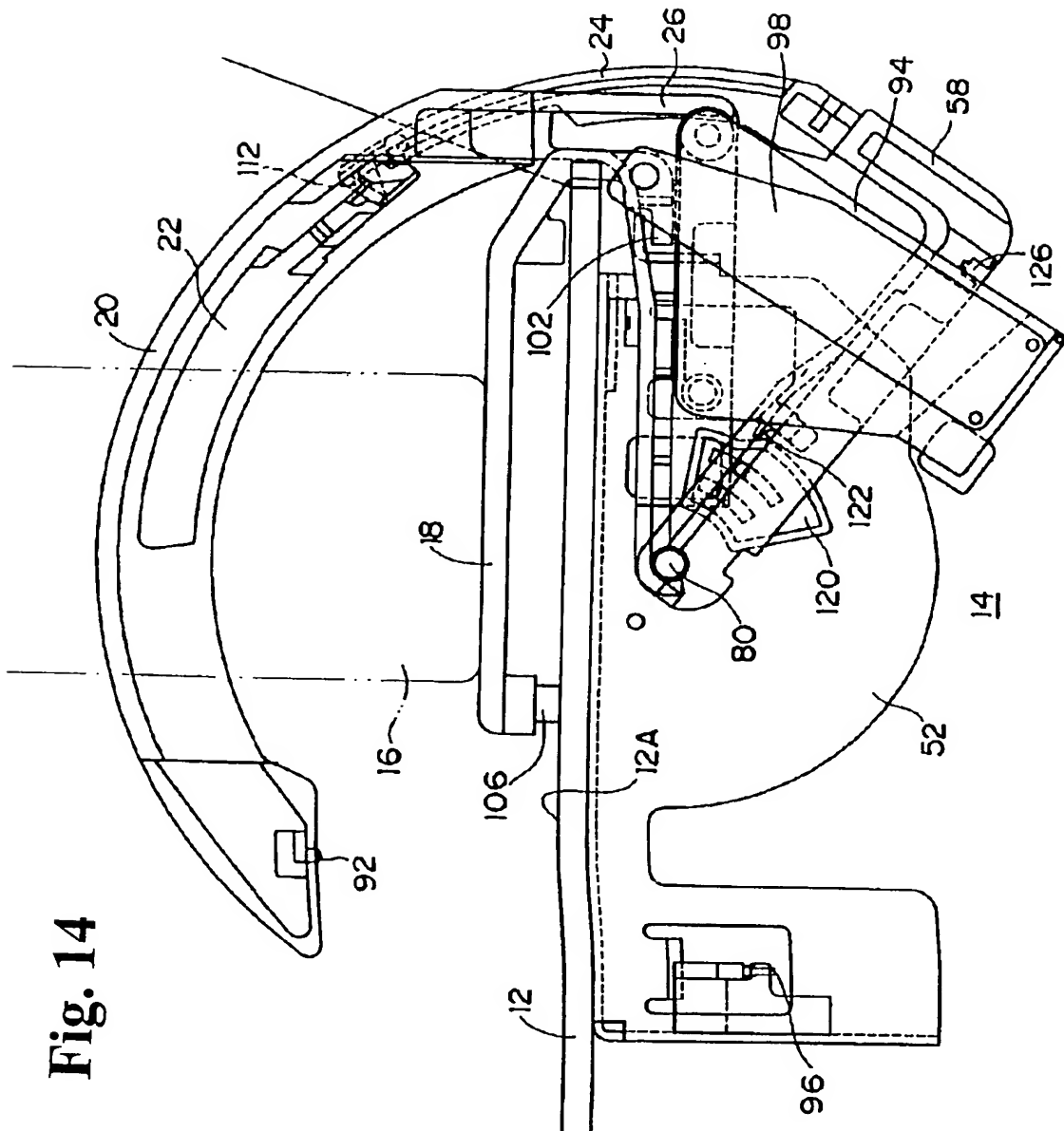


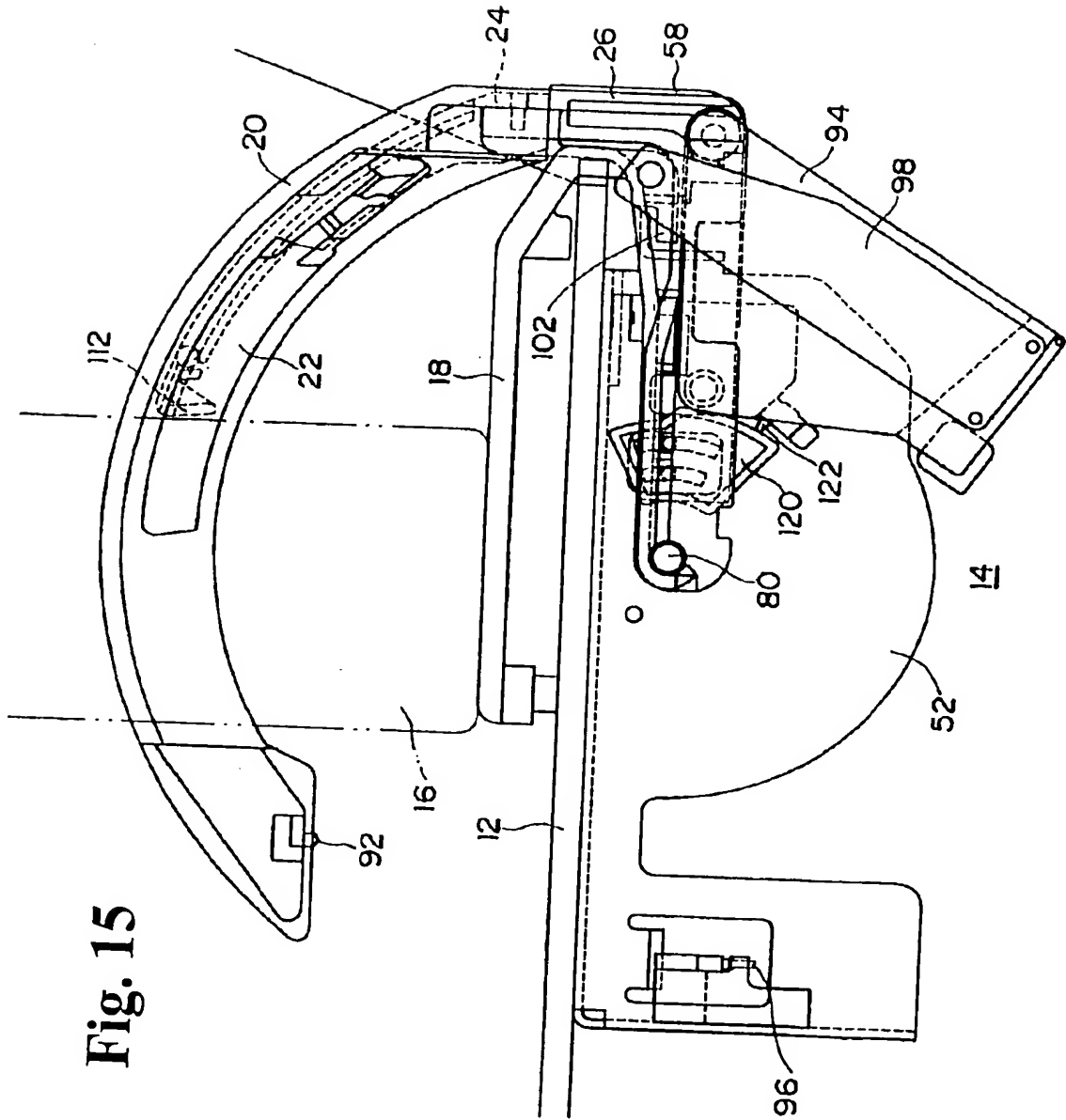
Fig. 12



14/37



**Fig. 14**



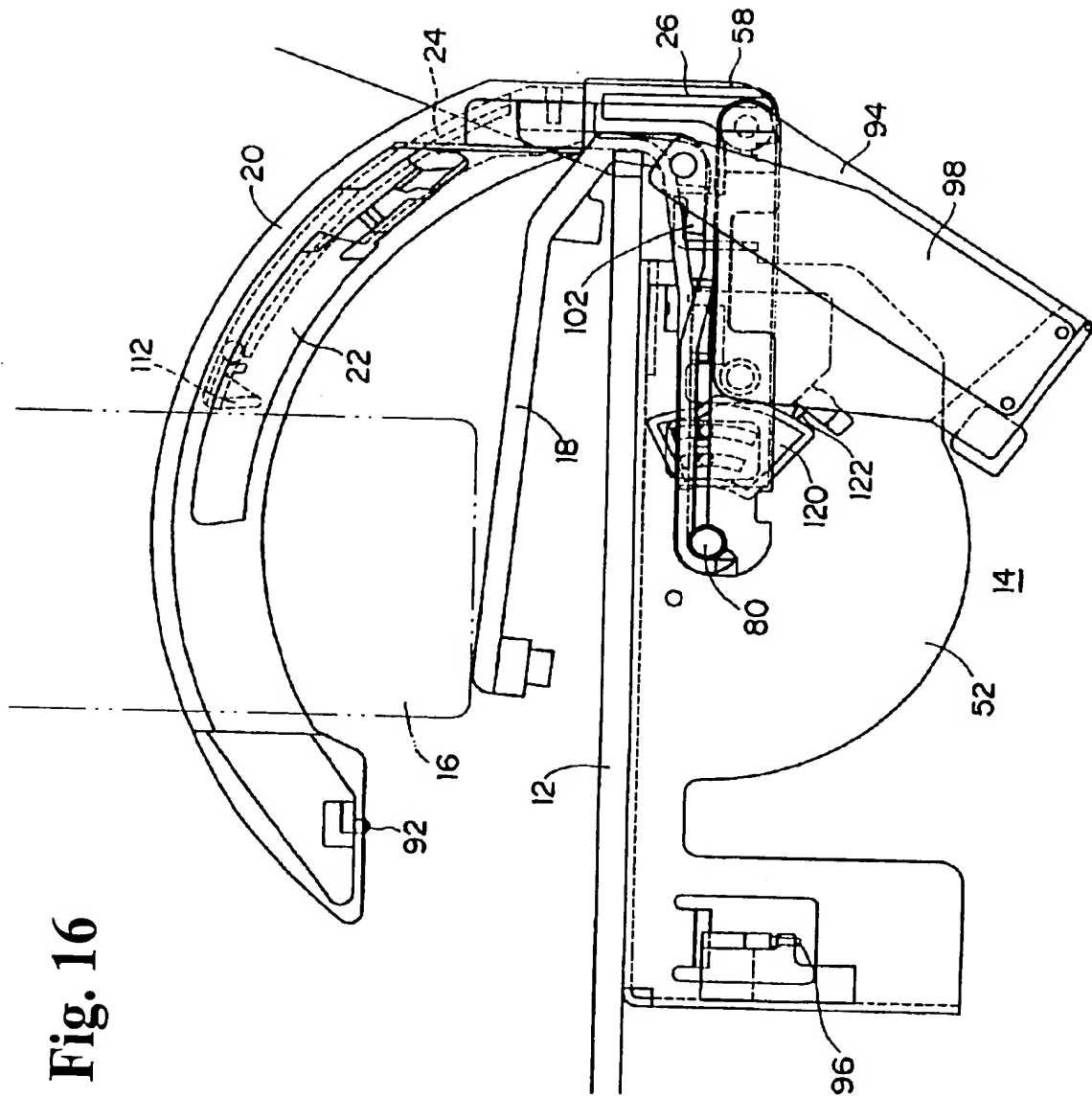


Fig. 16



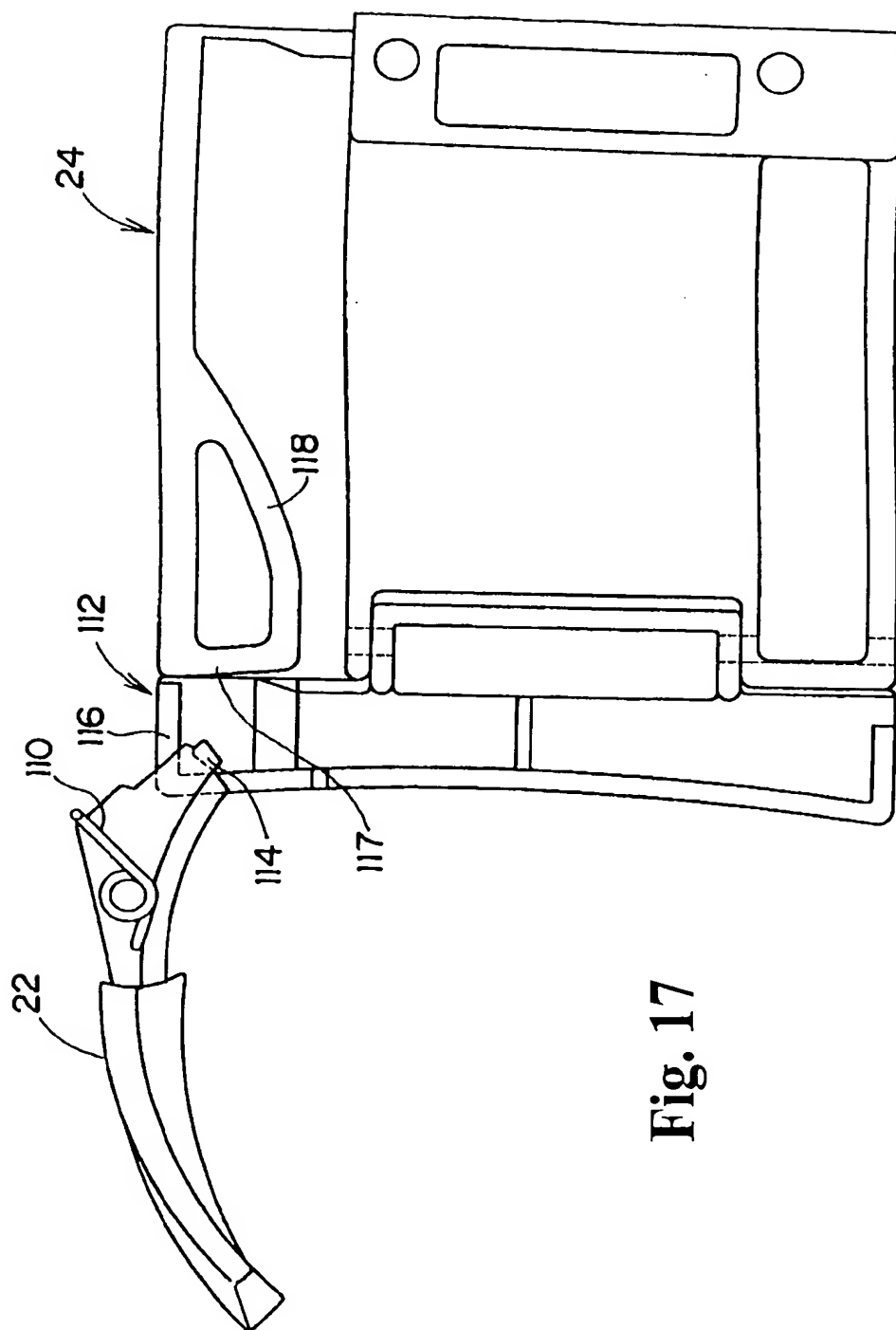


Fig. 17

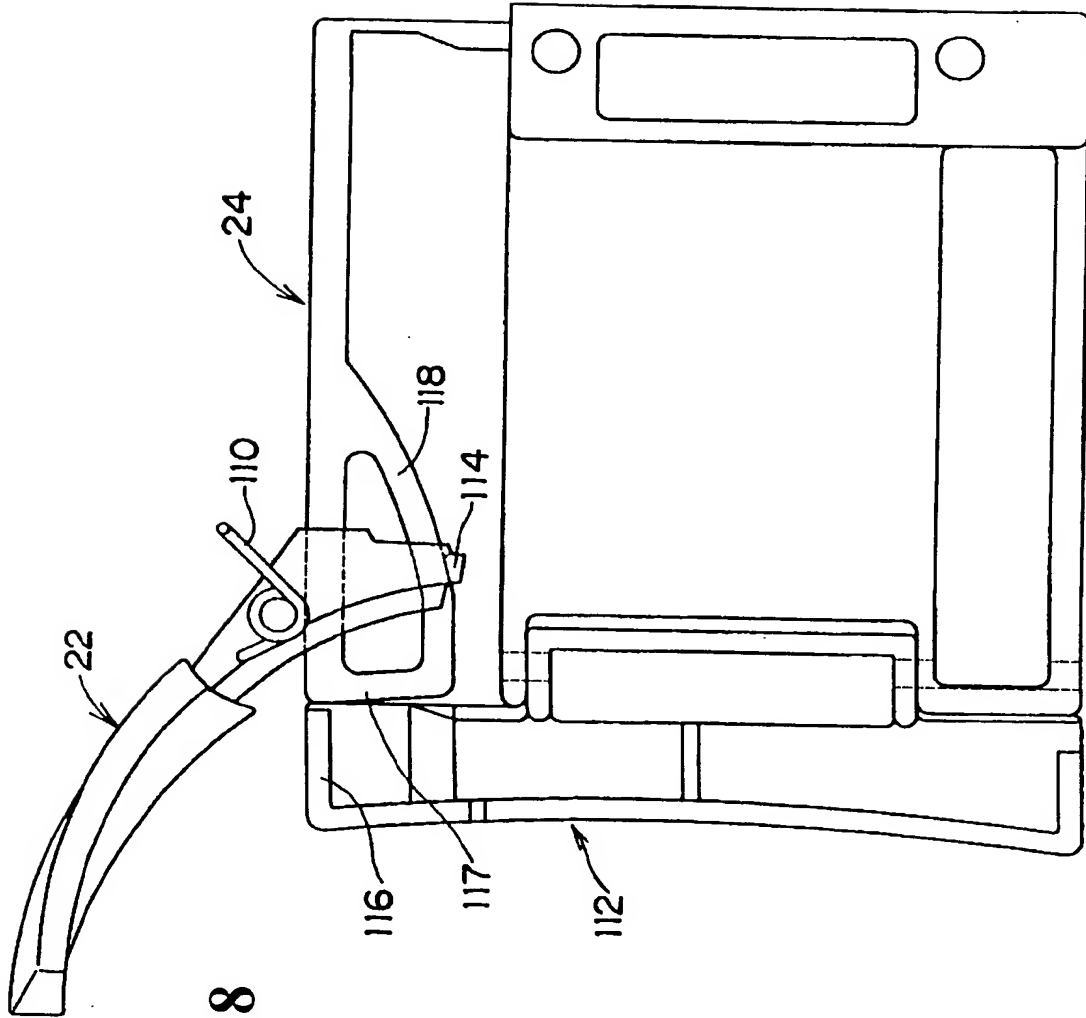
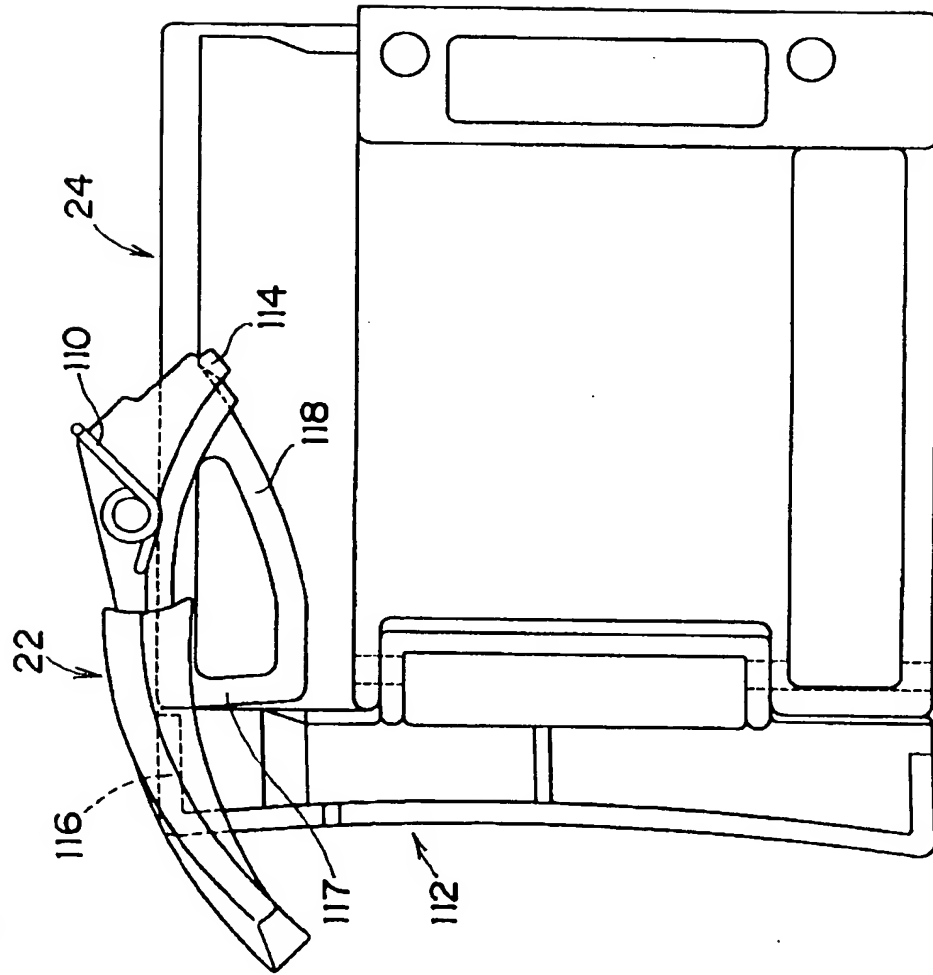


Fig. 18

Fig. 19



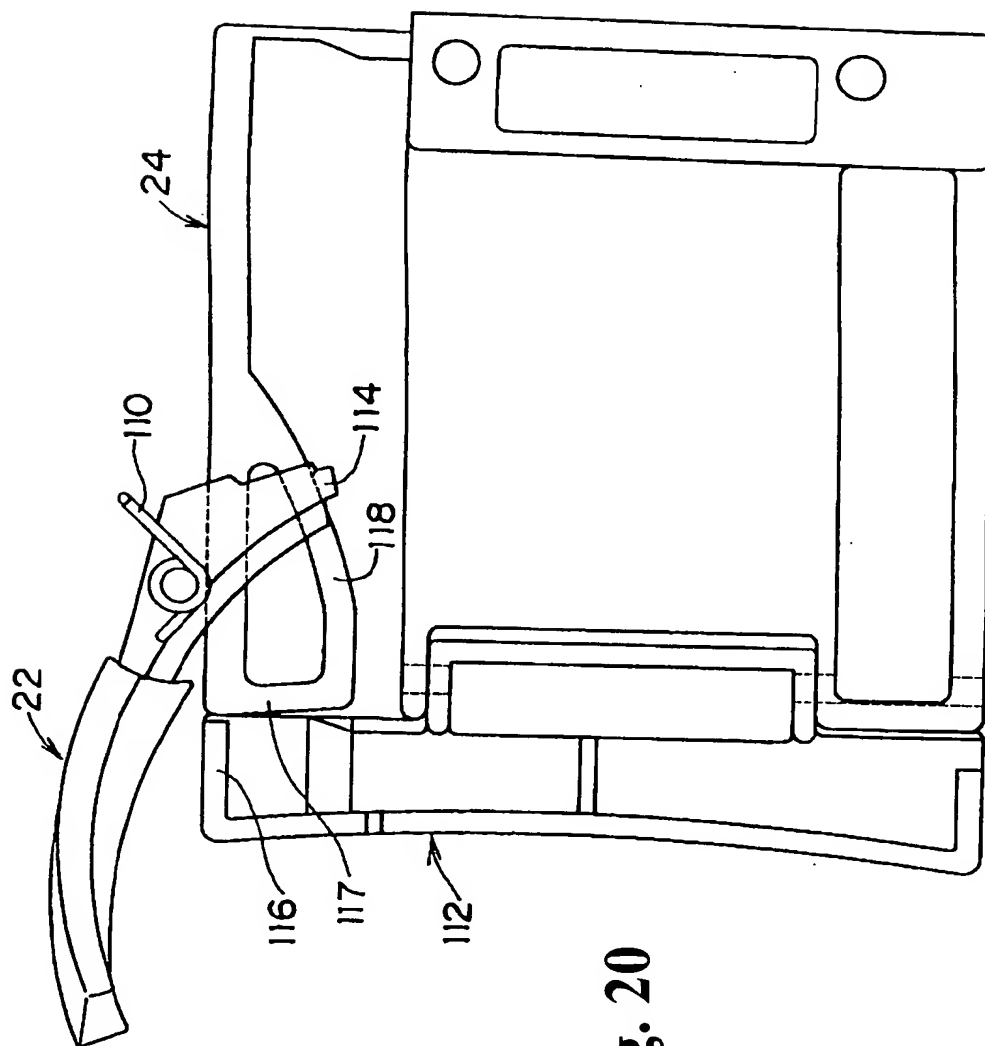


Fig. 20

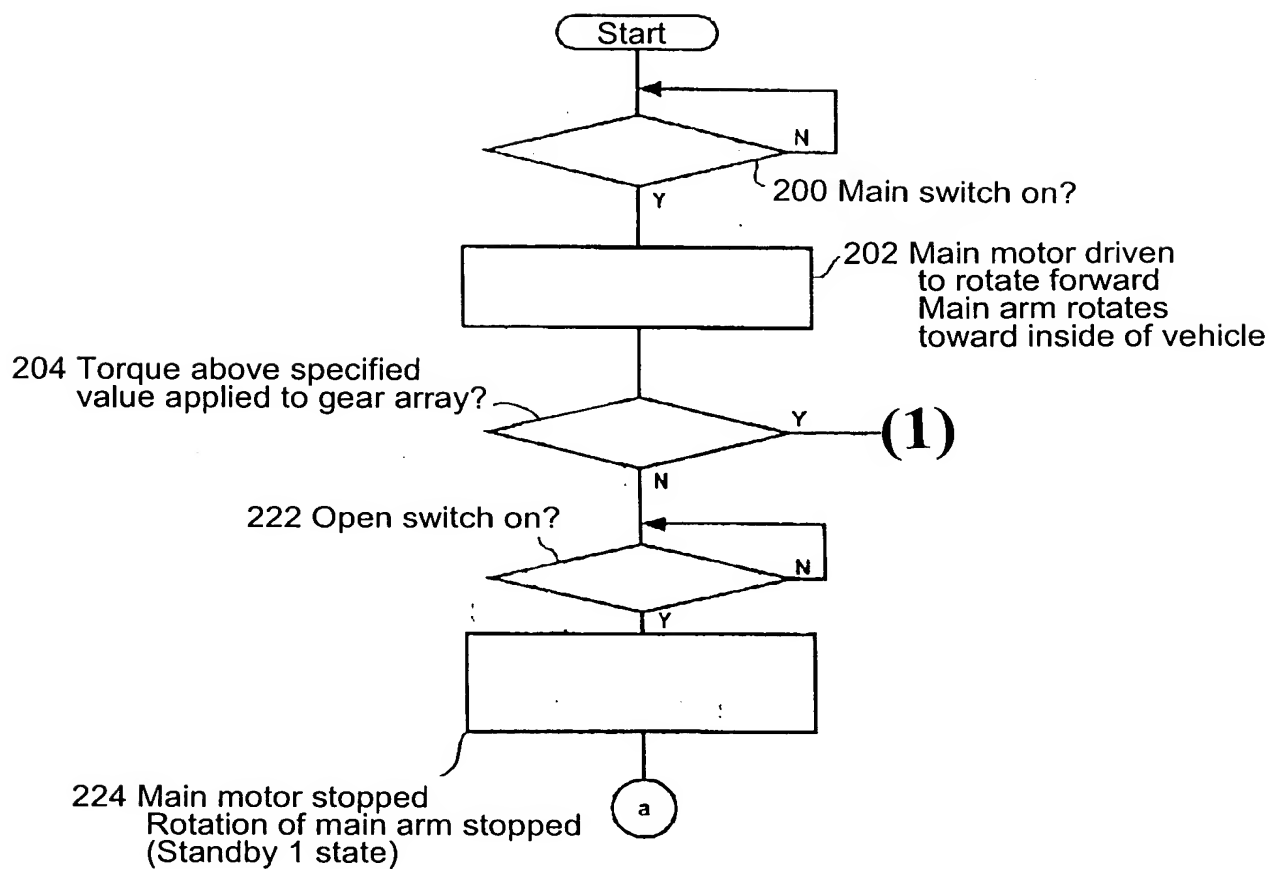
**Fig. 21-1**

Fig. 21-2

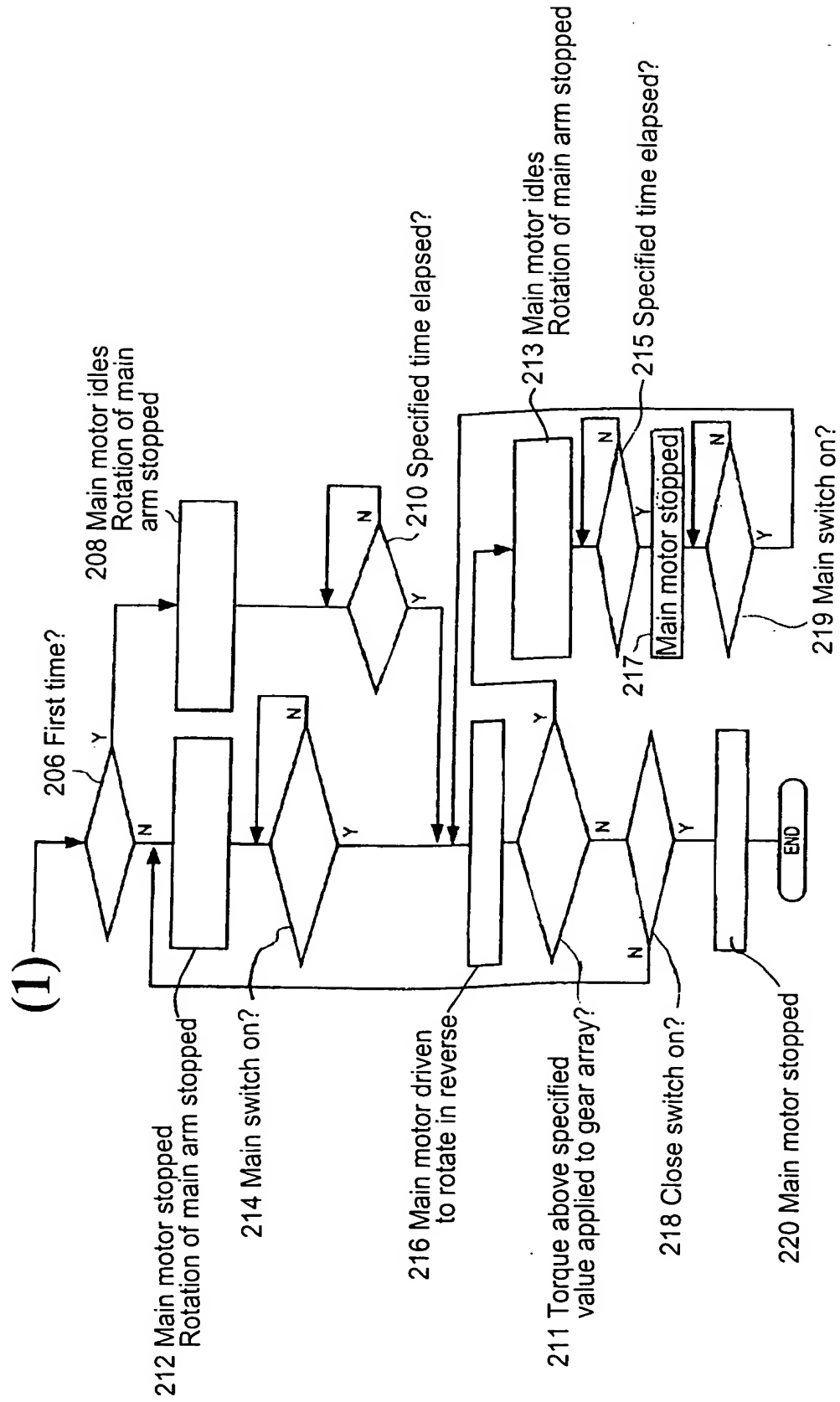


Fig. 22-1

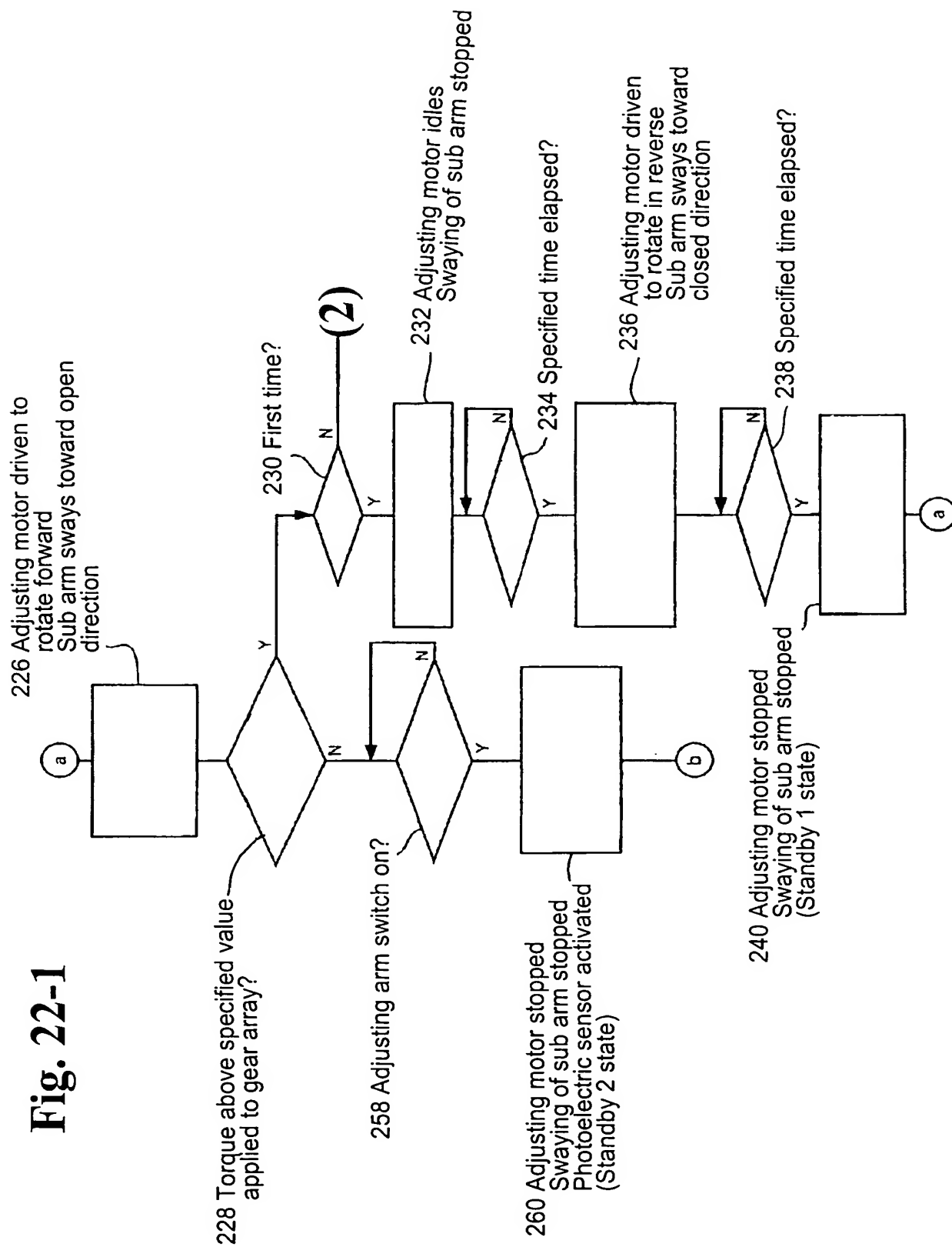


Fig. 22-2

(2)

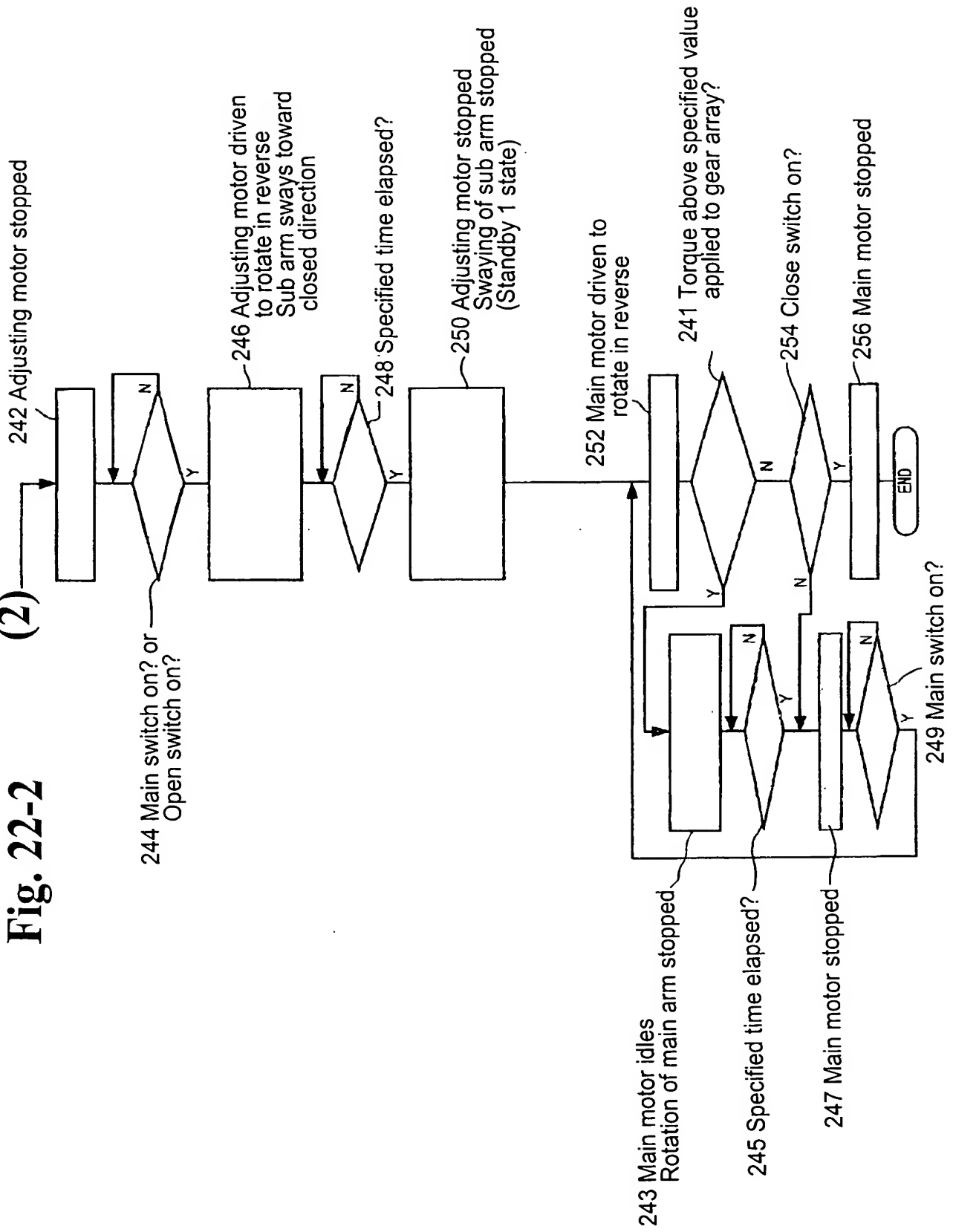




Fig. 23

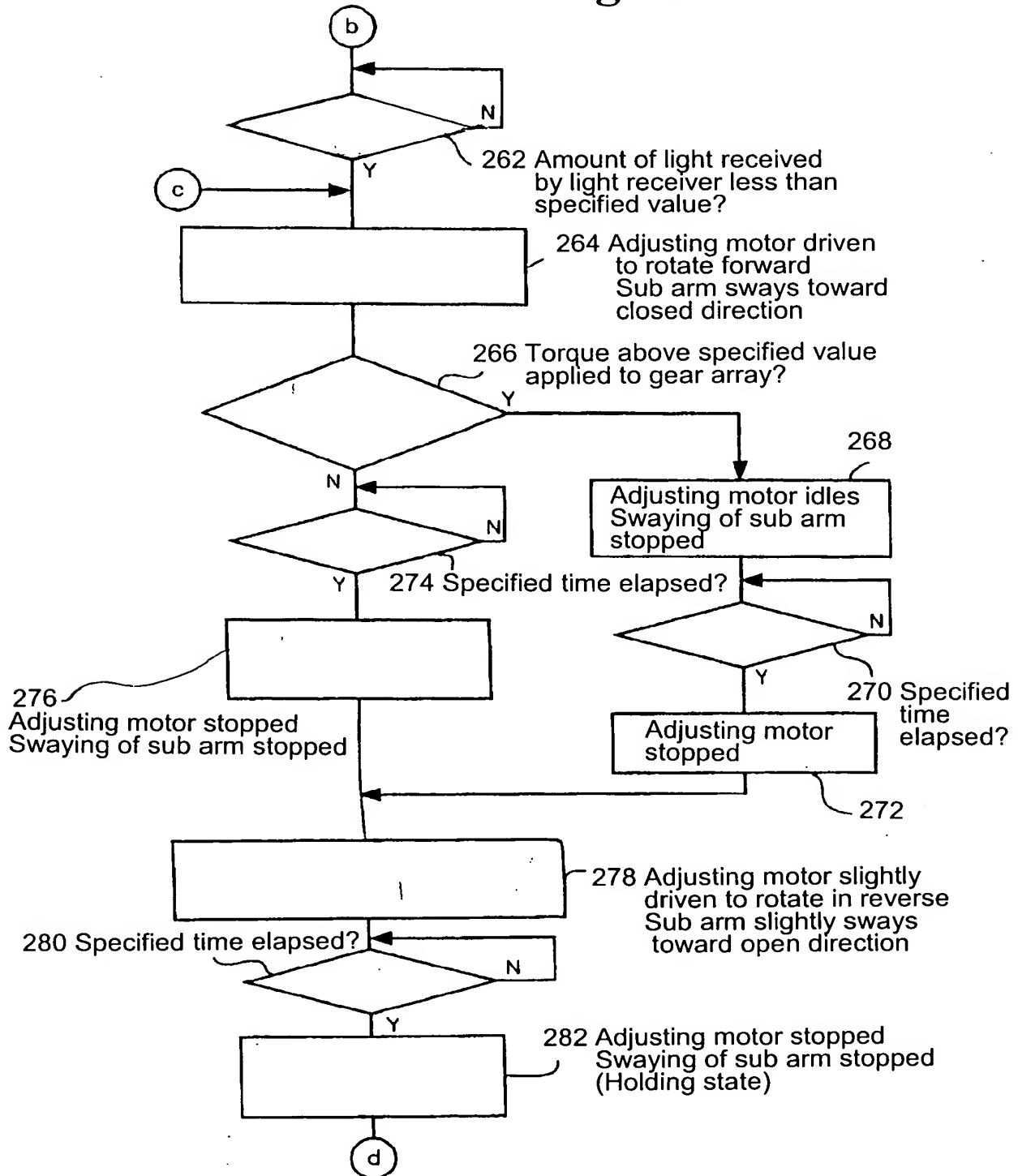
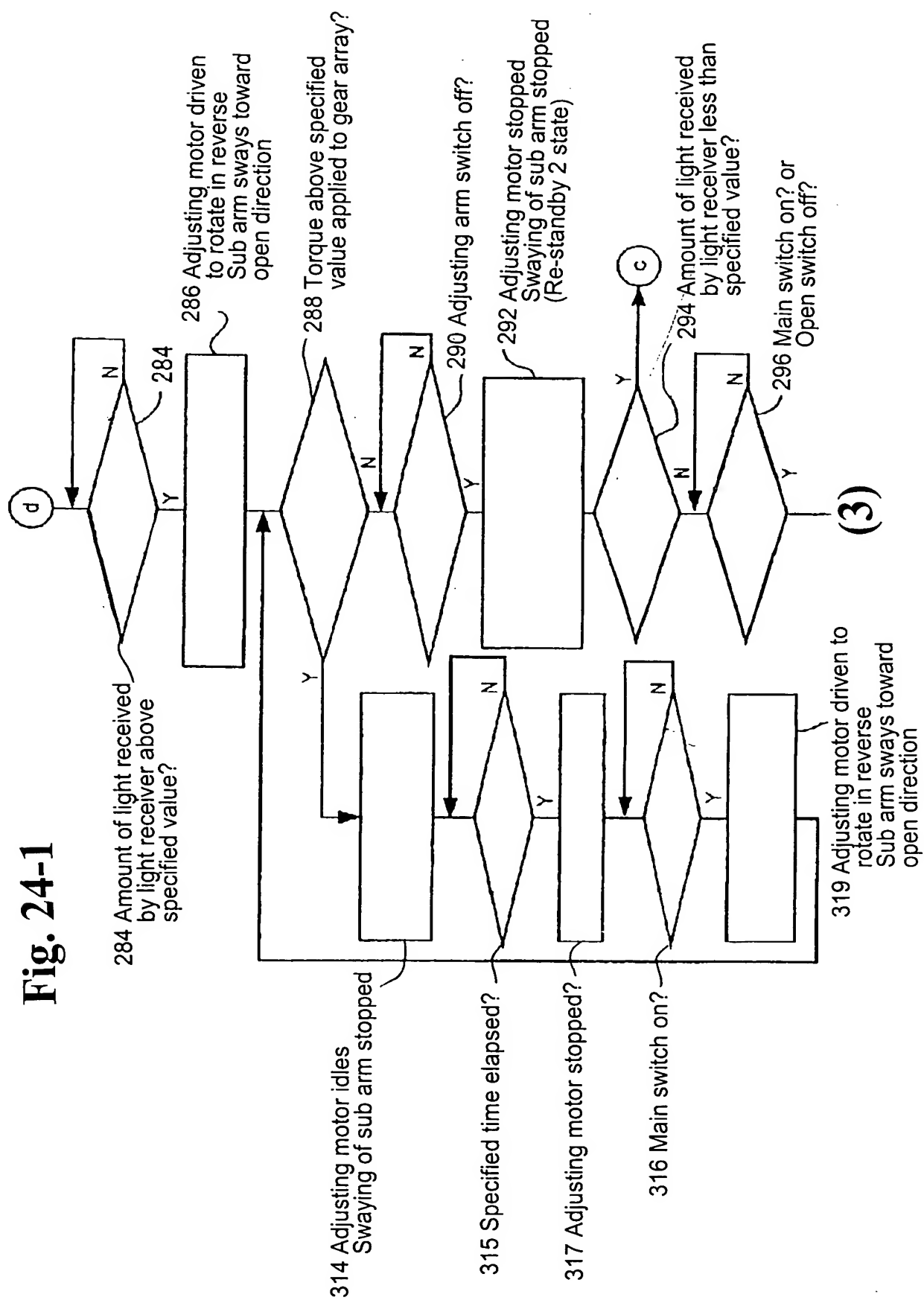


Fig. 24-1



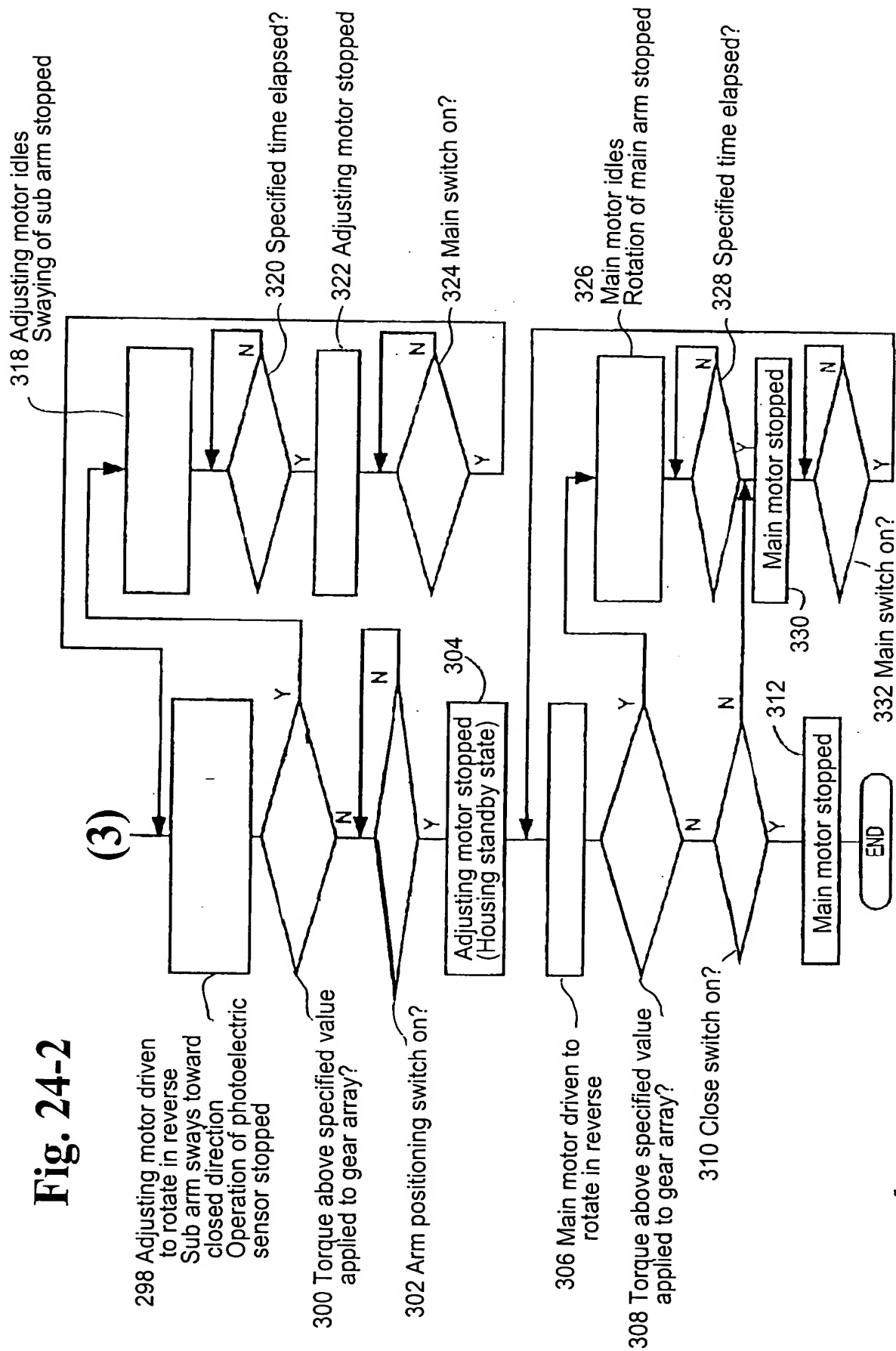
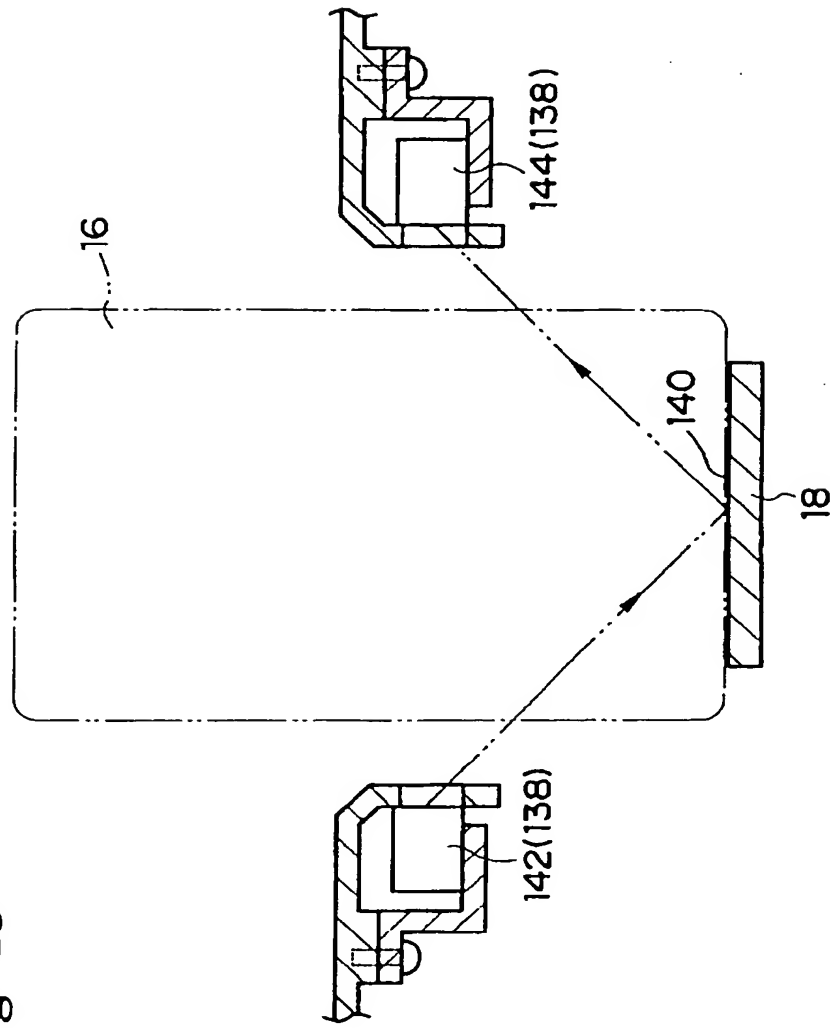


Fig. 25



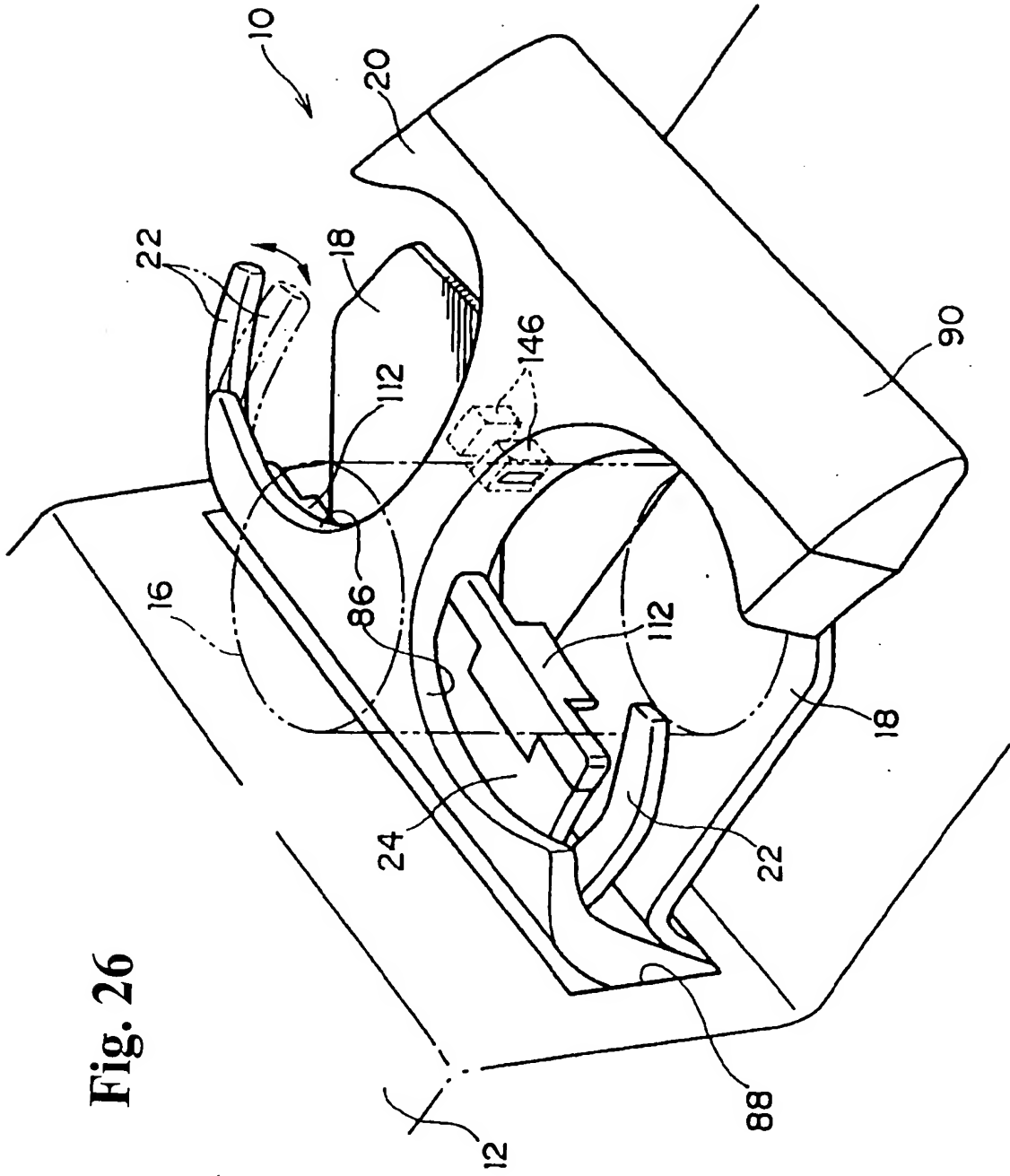


Fig. 26

Fig. 27

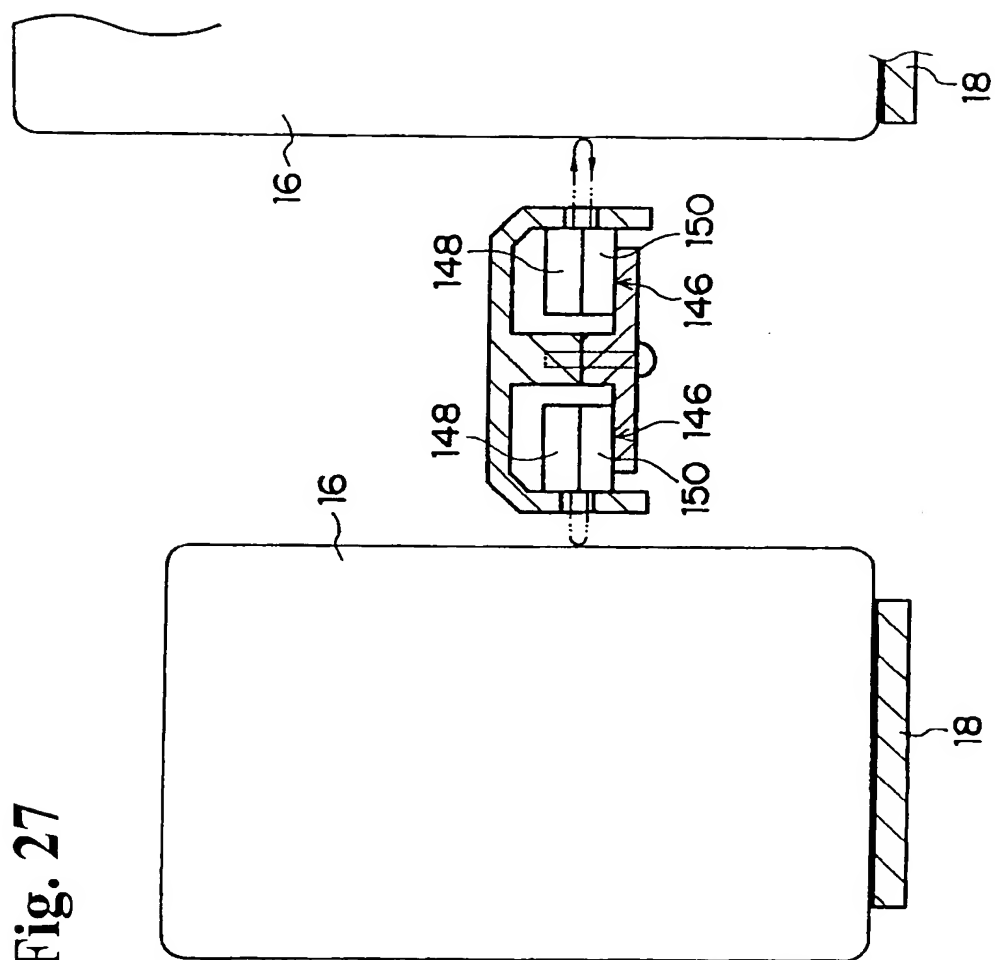


Fig. 28

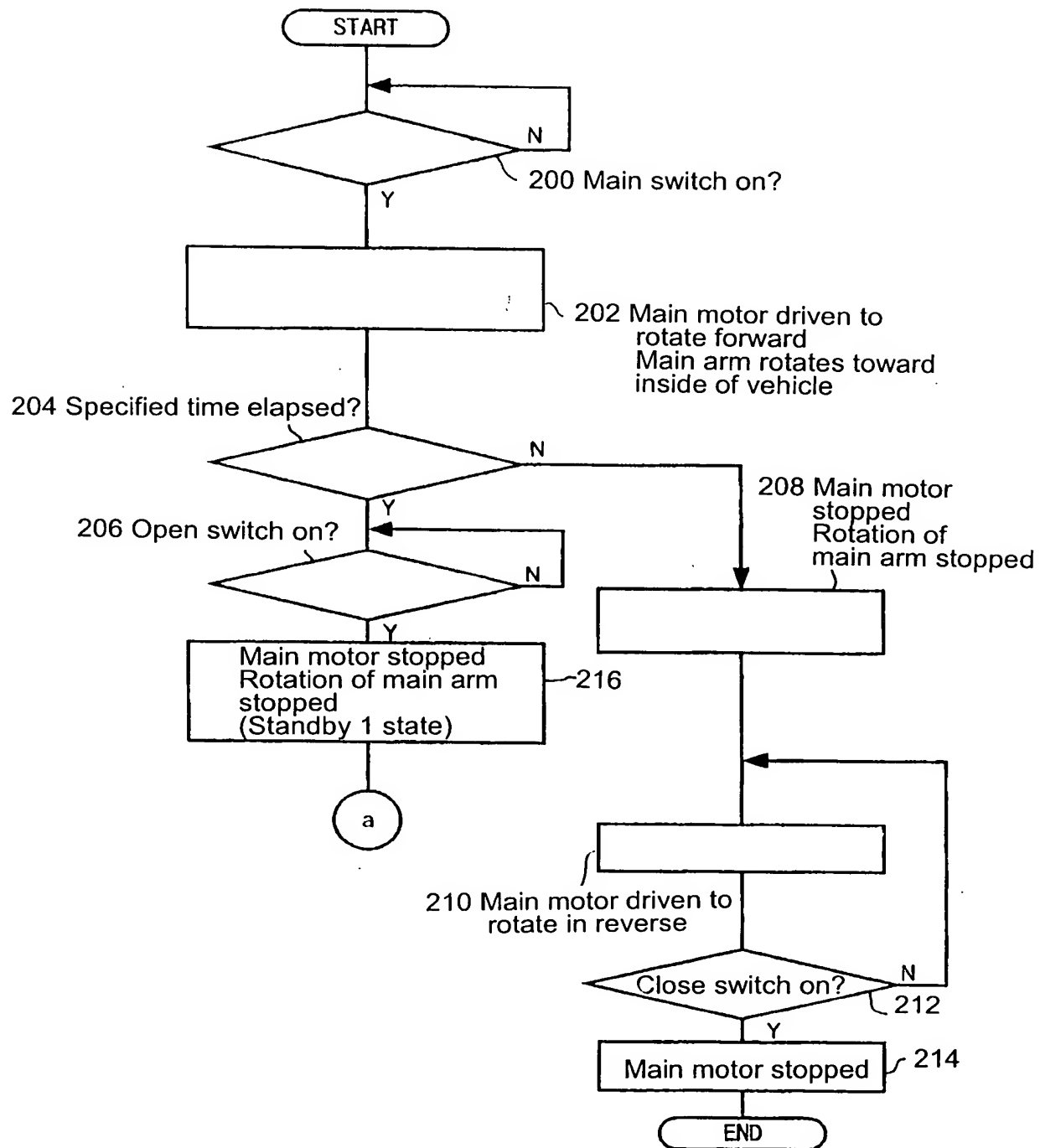


Fig. 29-1

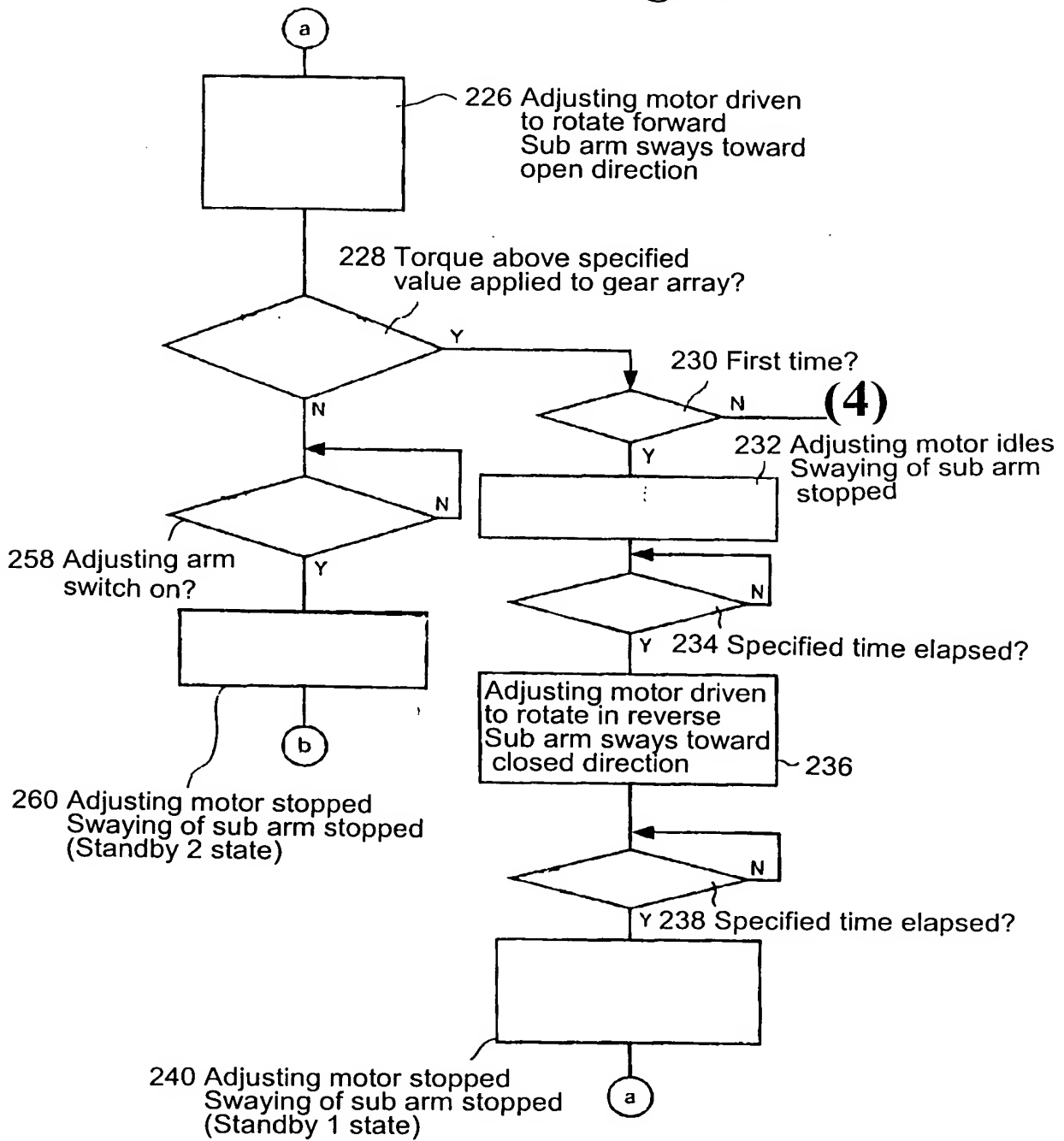




Fig. 29-2

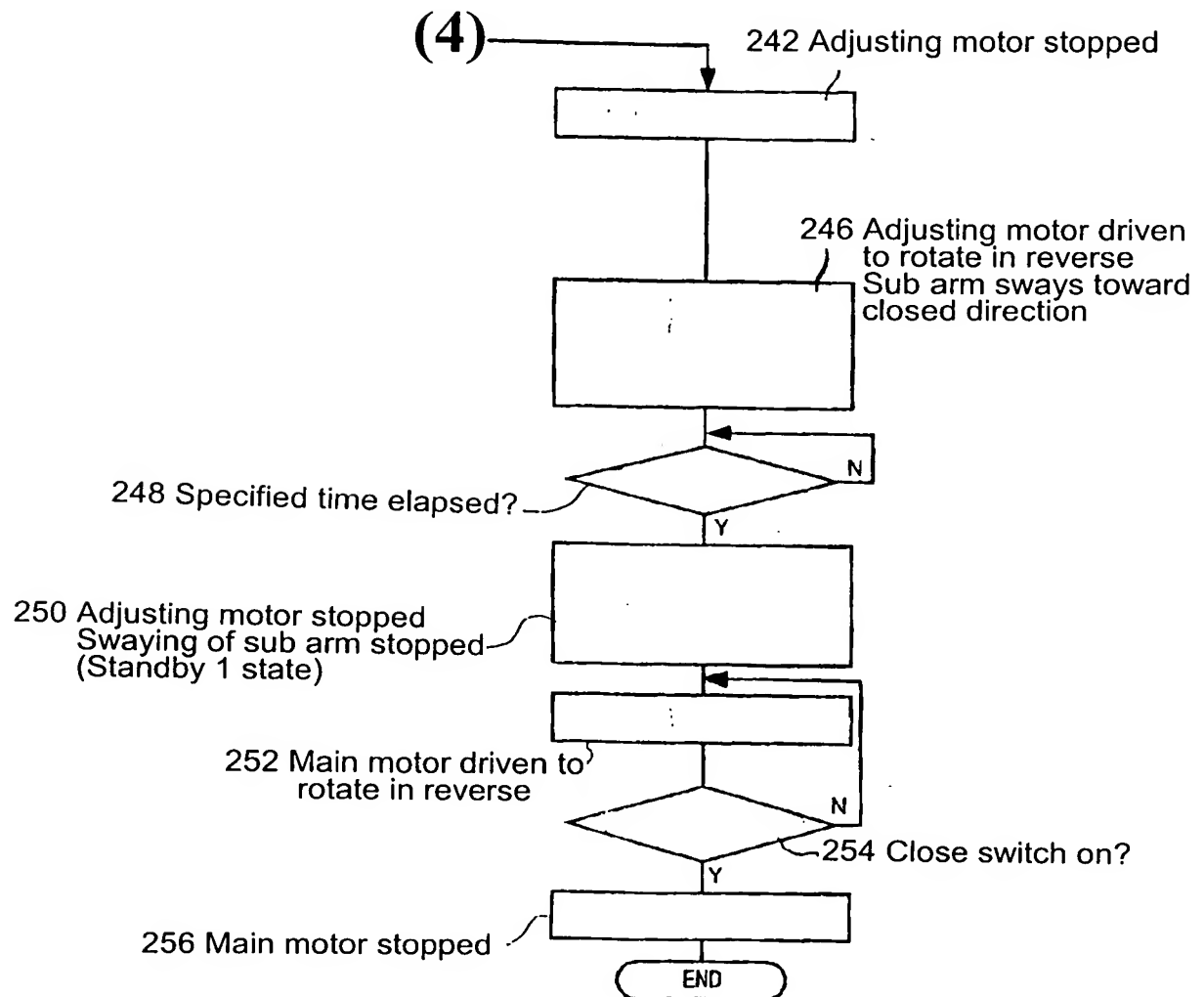


Fig. 30

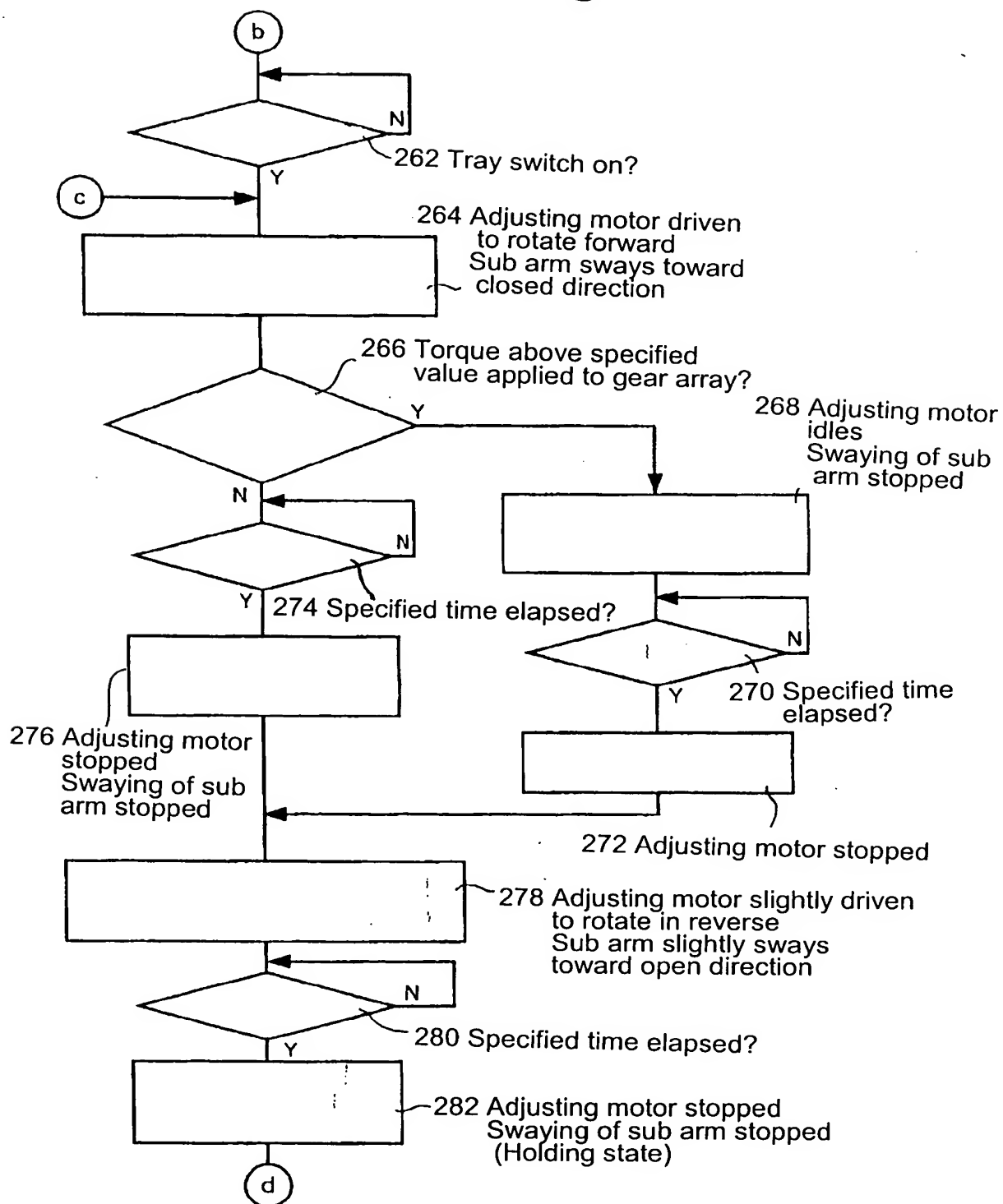


Fig. 31-1

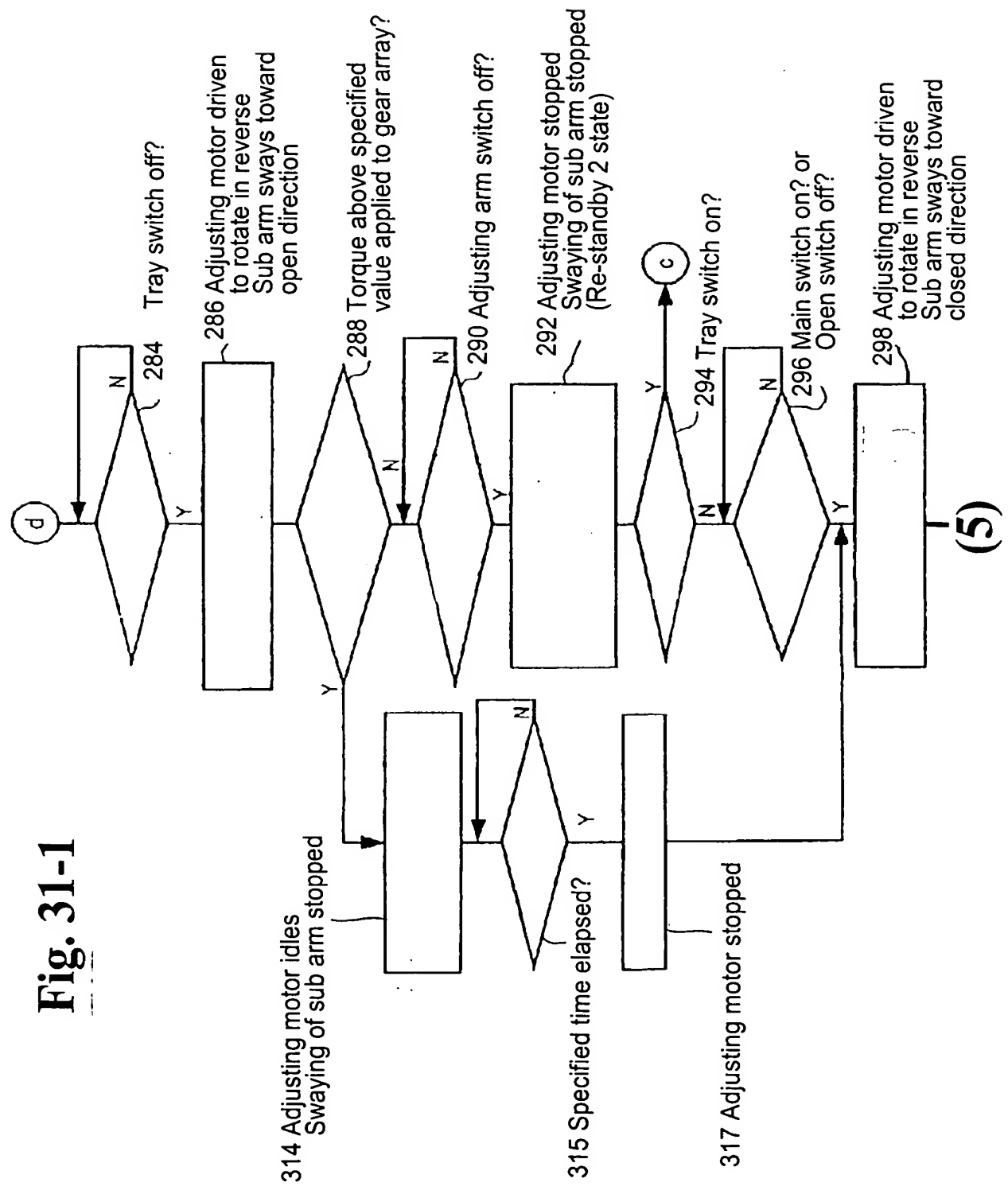


Fig. 31-2

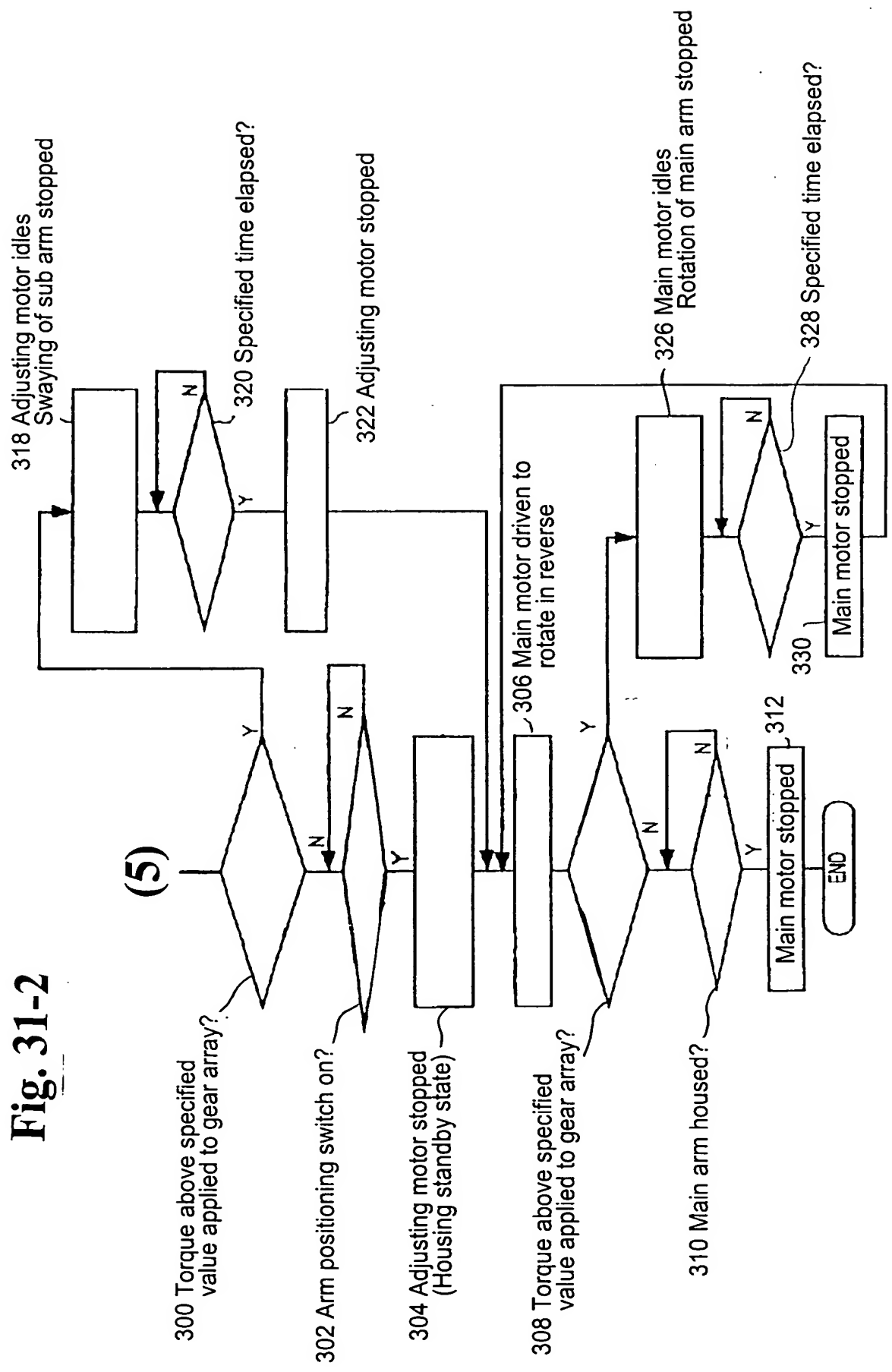


Fig. 32

Prior Art

